

UNIVERSIDADE ESTADUAL DE CAMPINAS  
FACULDADE DE ENGENHARIA  
DEPARTAMENTO DE ENGENHARIA MECÂNICA

"ESCOAMENTO AO REDOR DE UM CILINDRO  
NO MEIO POROSO"

Autor: CARLOS UMBERTO DA SILVA LIMA

Orientador: CHANG-YU LIU, Ph.D

Tese de Mestrado apresentada à  
Faculdade de Engenharia de Cam-  
pinas da UNICAMP como parte  
dos requisitos necessários pa-  
ra a obtenção do título de  
MESTRE EM ENGENHARIA MECÂNICA.

CAMPINAS - 1983

UNIVERSIDADE  
ESTADUAL DE CAMPINAS  
FACULDADE DE ENGENHARIA

A meus pais  
A minha esposa  
A minha filha.

## AGRADECIMENTOS

A Universidade Federal do Pará - Centro Tecnológico, Departamento de Mecânica e a Pró-Reitoria de Pesquisa e Pós-Graduação.

Ao Professor Chang-Yu Liu, pelo paciente trabalho de orientação.

Ao amigo: Celso Augusto Coelho pelo incentivo.

A todos aqueles que embora não citados contribuíram para a realização deste trabalho, a nossa gratidão.

## R E S U M O

O problema do escoamento ao redor do cilindro no meio poroso foi resolvido através da aplicação de Equação de Darcy. Generalizada juntamente com a condição de não-deslizamento na interface parede sólida-meio poroso.

A velocidade do fluxo uniforme no contorno do cilindro é representado por uma série de potencias. Através de uma transformação de similaridade as equações diferenciais parciais são transformadas em um sistema de equações diferenciais ordinárias.

As características de distribuição de velocidade; espessura da camada limite; espessura de deslocamento; espessura de momento; tensão de cisalhamento e o ponto de separação são mostrados para tres meios de diferentes permeabilidades.

## A B S T R A C T

By using of general form of Darcy Law with no slip condition at the interface, the problem of the flow trough porous medium has been solved.

The velocity at the wall over the circumference of the circular cilinder is represented for a power series. The partial differential equation, throught a similarity transformation is reduced to a sistem of ordinary differential equation.

The characteristics of velocity distribution; boundary layer thickness; displacement thickness; momentum thickness; shearing stress and point of separation are showed for three medium of different permeability.

I N D I C E

pág.

## CAPÍTULO 1

INTRODUÇÃO.....	1
-----------------	---

## CAPÍTULO 2

FORMULAÇÃO DO PROBLEMA.....	5
2.1 - Equações governantes.....	5
2.2 - Análise das Equações.....	6
2.3 - As condições de contorno.....	10

## CAPÍTULO 3

TRATAMENTO NUMÉRICO.....	18
3.1 - As equações obtidas.....	18
3.2 - O método utilizado.....	18
3.3 - O programa utilizado.....	20
3.4 - Os resultados obtidos.....	21

## CAPÍTULO 4

DISCUSSÃO DOS RESULTADOS.....	31
4.1 - Distribuição de velocidade.....	31
4.2 - Espessura da Camada Limite.....	35
4.3 - Espessura de Deslocamento.....	38
4.4 - Espessura de Momento.....	40
4.5 - Tensão de cisalhamento e a posição do ponto de separação.....	42

**CAPÍTULO 5**

CONCLUSÃO.....	47
NOMENCLATURA.....	48
BIBLIOGRAFIA.....	50
APENDICES.....	52

## CAPÍTULO 1

### INTRODUÇÃO

Os fluxos através dos meios porosos, tem importante aplicação em hidrologia, indústria petrolífera, em engenharia da agricultura, e etc.<sup>(5)</sup>

O primeiro trabalho a esse respeito, foi realizado em 1856, por Darcy, de onde surgiu a clássica "Lei de Darcy", na qual a maioria dos trabalhos sobre meios porosos são baseados.

A "Lei de Darcy", na forma mais original, estabelece que a taxa de fluxo volumétrico de um fluido percorrendo um meio poroso, é proporcional à diferença de pressão entre os pontos de entrada e, saída do fluido, à espessura e à área da seção transversal do leito poroso. Uma constante de proporcionalidade  $k'$  é função tanto do fluido, quanto do meio. Esta Lei, foi usada durante alguns anos por diversos pesquisadores, os quais concluíram que a Lei só era válida, para líquidos à baixas diferenças de pressão, enquanto que, para os gases a Lei apresentava bons resultados para médias velocidades.

Para aperfeiçoar a Lei, a constante  $k'$  foi substituída por  $v/k$ , onde  $k$  representa a permeabilidade do meio e,  $v$  a viscosidade cinemática do fluido. Segundo análise feita por Scheidegger<sup>(1)</sup>, a Lei de Darcy, pode tornar-se diferencial, transformando-se a diferença de pressão em um gradiente de pressão e, tornando infinitesimal a espessura do leito poroso.

Existem no entanto, alguns casos, em que a Lei de Darcy diferencial não é válida. Por exemplo, quando os termos de aceleração não podem ser desprezados, estes termos só podem ser desprezados quando a velocidade é muito pequena. Um outro caso, em que a Lei de Darcy, não é válida nessa forma é quando não é satisfeita uma condição de não-deslizamento na interface das regiões porosa e a parede sólida<sup>(2)</sup>.

Por volta de 1949, Brinkman<sup>(3)</sup>, publicou um trabalho, no qual considerou um meio poroso como uma reunião de partículas esféricas de raio  $r_e$ , que essas partículas são mantidas em posição por forças externas e, ainda que a presença dessas partículas produziam uma força de arrasto, que deveria ser vencida para que o fluxo ocorresse. Calculando essas duas forças; a primeira dada pela Equação de Navier-Stokes e, a segunda força sendo proporcional à velocidade média do fluxo, à viscosidade do fluido, à densidade das partículas e, do raio dessas mesmas partículas. Com a soma dessas duas forças, Brinkman<sup>(3)</sup>, chegou, a hoje conhecida, "Lei de Darcy Generalizada".

A Lei de Darcy Generalizada, junto com as condições de continuitade de velocidade tangencial e normal na interface, tem sido usada nos últimos anos por diversos pesquisadores para resolver os mais diversos problemas de fluxos através dos meios porosos.

Dev Sarma<sup>(4)</sup>, analisa o problema do fluxo axial, em um cilindro horizontal envolvido por um meio poroso também cônico. O autor, usa a Equação de Navier-Stokes para analisar o fluxo na região de fluido-puro e a Lei de Darcy Generalizada'

juntamente com as condições de continuidade de velocidade tangencial e normal na interface, para analisar o fluxo no meio poroso. Na conclusão, o autor mostra que a velocidade em ambos os meios decresce com o aumento do parâmetro de porosidade.

Narasimhacharyulu<sup>(5)</sup>, usam a Lei de Darcy Generalizada, juntamente com a condição de não deslizamento na interface, para analisar o escoamento em uma região porosa existente entre dois cilindros de mesmo eixo. Nesse trabalho, é mostrada a solução exata das equações do movimento, esta solução é também analisada para possíveis casos particulares, tais como: o fluxo de Poiseulle, o fluxo de Covette, fluxo entre duas placas paralelas, etc.

Liu e Ismail<sup>(6)</sup> usam a Lei de Darcy Generalizada juntamente com as condições de continuidade de velocidade normal e tangencial na interface para resolver o problema de película descendente ao longo da placa porosa com espessura finita. A solução mostra, que a taxa de fluxo volumétrico, é função da espessura da película e do parâmetro de porosidade.

Nas referenciais<sup>(7)</sup> e<sup>(8)</sup>, são mostrados outros trabalhos que utilizam a Lei de Darcy Generalizada, para analisar alguns tipos de problemas inerentes a meios porosos.

Schlichting<sup>(9)</sup>, apresenta a solução numérica, para o problema de fluxo sobre um cilindro circular horizontal sujeito à uma corrente em meio de fluido-puro. Nesse trabalho o autor usa a Equação de Navier-Stokes para analisar o problema. A velocidade do fluxo potencial e a função da corrente são representadas por séries de potências.

Este trabalho, utiliza a Lei de Darcy Generalizada, juntamente com a condição de não deslizamento na interface meio poroso-parede sólida, para estudar o escoamento sobre um cilindro circular horizontal localizado em um meio poroso, meio este que está sujeito a um fluxo uniforme. A velocidade  $U(x)$  do fluxo é assumido ser representada por uma série de potencias.

A partir da integração da equação da continuidade , introduz-se uma "função de corrente", com a qual os componentes da velocidade estão relacionadas. Então através de uma transformação de semelhança transforma-se então a equação diferencial parcial, em um sistema de equações diferenciais ordinárias. Este sistema, é então resolvido numericamente, simulando-se escoamento através de tres meios de permeabilidades diferentes, o que é possível variando-se um termo adequado do sistema de equações obtido. Os resultados aqui encontrados mostram que a variação da permeabilidade do meio provoca significativas alterações no escoamento.

## CAPÍTULO 2

### FORMULAÇÃO DO PROBLEMA

A Figura 1 mostra o esquema do problema. Um cilindro circular horizontal impermeável de raio "R", está localizado em um meio poroso, o qual está sujeito a um fluxo uniforme de velocidade  $U_\infty$ . A coordenada  $x$  é medida ao longo do contorno do cilindro.

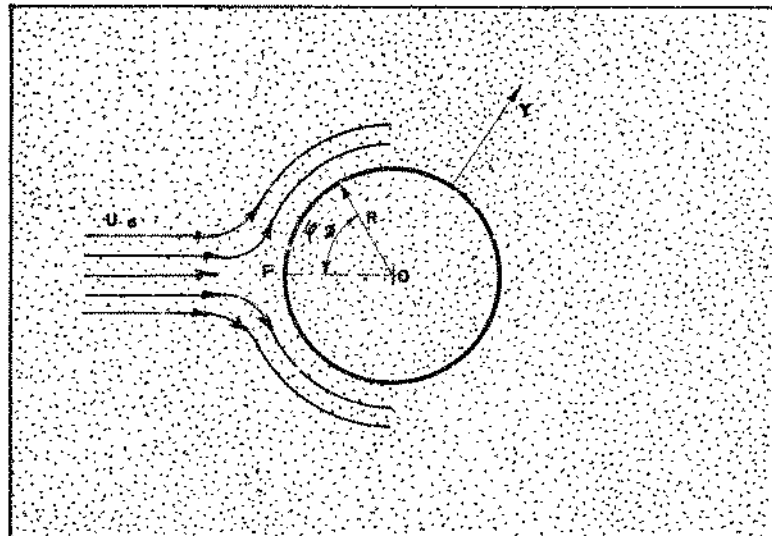


Fig. 1 - O Esquema do Problema

no do corpo e, tem sua origem no ponto de estagnação  $p$ ;  $y$  é a coordenada normal à superfície do cilindro.

#### 2.1. As equações Governantes.

As equações da camada limite para um escoamento bidimensional de um fluido viscoso, incompressível no meio poroso são (1):

Eq. de continuidade

$$\frac{\partial u}{\partial x} + \frac{\partial v}{\partial y} = 0 \quad (2,1)$$

Eq. de N-S modificada.

$$\frac{\partial u}{\partial t} + u \frac{\partial u}{\partial x} + v \frac{\partial u}{\partial y} = - \frac{1}{\rho} \frac{\partial p}{\partial x} + v \left( \frac{\partial^2 u}{\partial x^2} + \frac{\partial^2 u}{\partial y^2} \right) - \frac{v}{k} u \quad (2,2)$$

$$\frac{\partial v}{\partial t} + u \frac{\partial v}{\partial x} + v \frac{\partial v}{\partial y} = - \frac{1}{\rho} \frac{\partial p}{\partial y} + v \left( \frac{\partial^2 v}{\partial x^2} + \frac{\partial^2 v}{\partial y^2} \right) - \frac{v}{k} v \quad (2,3)$$

Onde:

$u$  e  $v$  são as componentes da velocidade nas direções  $x$  e  $y$  respectivamente;  $v$  representa a viscosidade cinemática do fluido;  $k$  é a permeabilidade do meio;  $\rho$  é a densidade do fluido e  $P$  é a pressão.

## 2.2. Análise das Equações

Vamos estudar a ordem de magnitude de cada termo das equações acima, para isso vamos definir as seguintes variáveis adimensionais:

$$\bar{x} = \frac{x}{L} ; \bar{y} = \frac{y}{\delta} ; \bar{P} = \frac{P}{\rho_0 U_c^2 + p_1} ; \bar{t} = \frac{t}{L/U_0} ; \bar{k} = \frac{k}{K_0} \quad (2,4)$$

$$\bar{u} = \frac{u}{U_0} ; \bar{v} = \frac{v}{V_0} ; \bar{\rho} = \frac{\rho}{\rho_0} ; \bar{v} = \frac{v}{v_0}$$

Onde

$v_0$  - viscosidade cinemática de referencia

$\rho_0$  - densidade de referencia

$k_0$  - permeabilidade de referencia

$\delta$  - espessura da camada limite

$U_0$  - velocidade longitudinal de referência

$V_0$  - componente da velocidade normal à borda da camada limite

$P_1$  - perda de pressão através do meio poroso

Substituindo agora as novas variáveis nas Equações (2,1) ; (2,2) e (2,3), teremos:

a) Para a Equação (2,1)

$$\left(\frac{U_0}{L}\right) \frac{\partial \bar{u}}{\partial \bar{x}} + \left(\frac{V_0}{\delta}\right) \frac{\partial \bar{v}}{\partial \bar{y}} = 0 \quad (2,5)$$

onde os dois coeficientes devem ter a mesma ordem de grandeza, ou

$$\frac{U_0}{L} = O\left(\frac{V_0}{\delta}\right)$$

como:  $L \gg \delta$

então, devemos ter

$$U_0 \gg V_0$$

b) substituindo agora essas mesmas variáveis adimensionais nas equações :

b.1) Na direção "x", eq. (2,2) :

$$\frac{U_0^2}{L} \frac{\partial \bar{u}}{\partial \bar{t}} + \frac{U_0^2}{L} \bar{u} \frac{\partial \bar{u}}{\partial \bar{x}} + \frac{V_0 U_0}{\delta} \cdot \bar{v} \frac{\partial \bar{u}}{\partial \bar{y}} = - \left(1 + \frac{P_1}{\rho_0 U_0^2}\right) \frac{\partial \bar{P}}{\rho \partial \bar{x}} + \frac{\nu U_0}{L} \bar{v} \frac{\partial^2 \bar{u}}{\partial \bar{x}^2} + \frac{\nu U_0}{\delta^2}$$

$$\bar{v} \frac{\partial \bar{u}}{\partial \bar{y}^2} - \frac{\nu U_0}{k_0} \bar{u} \frac{\bar{v}}{k} \quad (2,6)$$

Desprezaremos  $\bar{v} \frac{\partial^2 \bar{u}}{\partial \bar{x}^2}$  por ser muito menor em relação à  $\bar{v} \frac{\partial^2 \bar{u}}{\partial \bar{y}^2}$ . Subs-

tituindo o valor de  $\frac{v_o}{\delta}$  no terceiro termo da Equação (2,6) e dividindo-a por  $U_o^2/L$ , teremos:

$$\frac{\partial \bar{u}}{\partial t} + \bar{u} \frac{\partial \bar{u}}{\partial x} + \bar{v} \frac{\partial \bar{u}}{\partial y} = - (1 + \frac{P_1}{\rho_o U_o^2}) \frac{\partial \bar{P}}{\partial x} + (\frac{v_o}{L U_o}) \cdot \frac{L^2}{\delta^2} \bar{v} \frac{\partial^2 \bar{u}}{\partial y^2} - (\frac{v_o}{L U_o}) \cdot \frac{L^2}{K_o} \bar{u} \frac{\bar{v}}{K}$$

ou

$$\frac{\partial \bar{u}}{\partial t} + \bar{u} \frac{\partial \bar{u}}{\partial x} + \bar{v} \frac{\partial \bar{u}}{\partial y} = - (1 + \frac{P_1}{\rho_o U_o^2}) \frac{\partial \bar{P}}{\partial x} + \frac{1}{Re} \frac{L^2}{\delta^2} \bar{v} \frac{\partial^2 \bar{u}}{\partial y^2} - \frac{1}{Re} \cdot \frac{L^2}{K_o} \bar{u} \frac{\bar{v}}{K}$$

(2,7)

Caso (1)

$$\text{Se } \frac{P_1}{\rho_o U_o^2} \gg 1 ; \frac{1}{Re} \left(\frac{L}{\delta}\right)^2 \ll \frac{1}{Re} \frac{L^2}{K}$$

e se

$\frac{P_1}{\rho_o U_o^2}$  tiver a mesma ordem de grandeza de  $\frac{1}{Re} \frac{L^2}{K_o}$ , obteremos a "Equação de Darcy".

$$\frac{1}{\rho} \frac{\partial P}{\partial x} + \frac{v}{K} u = 0 \quad (2,8)$$

Caso (2)

$$\text{Se } \frac{P_1}{\rho_o U_o^2} \ll 1 \text{ e } k_o \sim 0 (\delta^2), \text{ teremos}$$

como resultado a seguinte equação

$$\frac{\partial \bar{u}}{\partial t} + \bar{u} \frac{\partial \bar{u}}{\partial x} + \bar{v} \frac{\partial \bar{u}}{\partial y} = - \frac{1}{\rho} \frac{\partial \bar{P}}{\partial x} + \bar{v} \frac{\partial^2 \bar{u}}{\partial y^2} - \bar{u} \frac{\bar{v}}{K} \quad (2,9)$$

b.2) Na direção "y", equação (2,3)

$$\frac{V_0 U_0}{L} \left( \frac{\partial \bar{v}}{\partial t} + \bar{u} \frac{\partial \bar{v}}{\partial x} + \bar{v} \frac{\partial \bar{v}}{\partial y} \right) = - \left( 1 + \frac{P_1}{\rho_0 U_0^2} \right) \frac{\partial \bar{p}}{\partial y} + \frac{v_0 V_0}{L^2} \bar{v} \frac{\partial^2 \bar{v}}{\partial x^2} + \frac{v_0 V_0}{\delta^2}.$$

$$\cdot \bar{v} \frac{\partial^2 \bar{v}}{\partial y^2} - \frac{v_0 V_0}{K_0} \bar{v} \frac{\bar{v}}{K}$$
 (2.10)

O termo  $\bar{v} \frac{\partial^2 \bar{v}}{\partial x^2}$  pode ser desprezado por ser de ordem de grandeza muito menor que  $\bar{v} \frac{\partial^2 \bar{v}}{\partial y^2}$ , teremos então:

$$\frac{V_0 U_0^2}{L} \left( \frac{\partial \bar{v}}{\partial t} + \bar{u} \frac{\partial \bar{v}}{\partial x} + \bar{v} \frac{\partial \bar{v}}{\partial y} \right) = - \left( 1 + \frac{P_1}{\rho_0 U_0^2} \right) \frac{\partial \bar{p}}{\partial y} + \left( \frac{v_0}{U_0 L} \right) \frac{U_0^2}{\delta} \bar{v} \frac{\partial^2 \bar{v}}{\partial y^2} + \frac{v_0}{L V_0 K_0} \frac{L^2}{\delta} \bar{v} \frac{\bar{v}}{K}$$

Os termos  $\left( \frac{V_0}{U_0} \cdot \frac{U_0^2}{L} \right)$  e  $\left( \frac{v_0}{U_0} \cdot \frac{U_0^2}{\delta} \right)$  são muito pequenos.

Se tivermos

$$\frac{P_1}{\rho_0 U_0^2} \ll 1.$$

$\frac{v_0}{L V_0 K_0} \frac{L^2}{\delta}$  tem a mesma ordem de grandeza do termo  $\frac{P_1}{\rho_0 U_0^2}$ .

teremos portanto

$$\frac{\partial \bar{p}}{\partial y} = 0 \quad (2.11)$$

teremos portanto as equações de Navier-Stokes modificada reduzindo-se à:

$$\frac{\partial u}{\partial t} + u \frac{\partial u}{\partial x} + v \frac{\partial u}{\partial y} = - \frac{1}{\rho} \frac{\partial p}{\partial x} + v \frac{\partial^2 u}{\partial y^2} - u \frac{v}{K} \quad (2.12)$$

equação esta que é conhecida como a "Lei de Darcy Generalizada".

Para o escoamento permanente teremos as seguintes equações governantes:

$$\frac{\partial u}{\partial x} + \frac{\partial v}{\partial y} = 0 \quad (2,1)$$

$$u \frac{\partial u}{\partial x} + v \frac{\partial u}{\partial y} = - \frac{1}{\rho} \frac{\partial P}{\partial x} + v \frac{\partial^2 u}{\partial y^2} - u \frac{v}{k} \quad (2,13)$$

quando  $y = \infty$  teremos  $u = U(x)$

e portanto

$$\frac{\partial u}{\partial y} = \frac{\partial^2 u}{\partial y^2} = 0$$

Teremos então

$$U \frac{\partial U}{\partial x} = - \frac{1}{\rho} \frac{\partial P}{\partial x} + \frac{v}{k} U$$

ou

$$- \frac{1}{\rho} \frac{\partial P}{\partial x} = U \frac{\partial U}{\partial x} + \frac{v}{k} U$$

que substituído na Equação (2,13) nos dá:

$$u \frac{\partial u}{\partial x} + v \frac{\partial u}{\partial y} = U \frac{\partial U}{\partial x} + \frac{v}{k} U - \frac{v}{k} u + v \frac{\partial^2 u}{\partial y^2}$$

ou

$$u \frac{\partial u}{\partial x} + v \frac{\partial u}{\partial y} = U \frac{\partial U}{\partial x} + \frac{v}{k} (U - u) + v \frac{\partial^2 u}{\partial y^2} \quad (2,14)$$

2,3) As condições de contorno

2.3.1) Junto à parede são nulos os componentes  $u$  e  $v$  da velocidade, ou

$$y = 0 \implies u = v = 0 \quad (2,15)$$

- 2.3.3) A distribuição da velocidade ao redor de cilindro de raio  $R$  produzida por uma corrente irrotacional de velocidade  $U_0$  paralela ao eixo  $x$ , segundo a teoria do fluxo potencial é:

$$U(x) = 2 U_0 \operatorname{sen}\left(\frac{x}{R}\right)$$

onde  $U_0$  é a velocidade não perturbada

ou

$$y = \infty \implies u = U(x) = 2 U_0 \operatorname{sen}\left(\frac{x}{R}\right) \quad (2,16)$$

Representamos a velocidade do fluxo pelo seguinte desenvolvimento em série:

$$U(x) = u_1 x + u_3 x^3 + u_5 x^5 + u_7 x^7 + u_9 x^9 + \dots \quad (2,17)$$

onde  $x$  é a distância ao ponto de estagnação, medido ao longo do contorno do corpo e, os coeficientes  $u_i$  dependem somente da forma geométrica do corpo e supõem-se conhecidos.

Observamos a condição de contorno (2,16) segundo a qual o fluxo potencial é regido por  $U(x) = 2 U_0 \operatorname{sen}\left(\frac{x}{R}\right)$ . teremos então o desenvolvimento em série de  $\operatorname{sen}\left(\frac{x}{R}\right)$ , ou seja:

$$U(x) = 2U_0 \left[ \frac{x}{R} - \frac{1}{3!} \left(\frac{x}{R}\right)^3 + \frac{1}{5!} \left(\frac{x}{R}\right)^5 - \frac{1}{7!} \left(\frac{x}{R}\right)^7 + \frac{1}{9!} \left(\frac{x}{R}\right)^9 \dots \right] \quad (2,18)$$

Comparando agora as equações (2,17) e (2,18) teremos

$$u_1 = 2 \frac{U_0}{R} ; u_3 = -\frac{2}{3!} \frac{U_0}{R^3} ; u_5 = \frac{2}{5!} \frac{U_0}{R^5} ; u_7 = -\frac{2}{7!} \frac{U_0}{R^7}$$

(2,19)

Podemos agora calcular o termo  $U \frac{\partial U}{\partial x}$  da Equação de quantidade de movimento

$$U \frac{\partial U}{\partial x} = u_1^2 x + 4 u_1 u_3 x^3 + (6 u_1 u_5 + 3 u_3^2) x^5 + (8 u_1 u_7 + 3 u_3 u_5) x^7 + \\ + 10(u_1 u_9 + u_3 u_7 + \frac{1}{2} u_5^2) x^9 + \dots$$

(2,20)

A Equação da continuidade é integrada introduzindo-se uma função de corrente  $\Psi(x,y)$ . Chega-se a uma forma conveniente para a função de corrente e com ela se encontram as componentes da velocidade. Em analogia com (2,18) e (2,20) se ensaiou para  $\Psi(x,y)$  um desenvolvimento em série de potência, com coeficientes dependentes de  $y$ , segundo Schlichting [9], a forma conveniente para a função de corrente é:

$$\Psi = \left(\frac{v}{u_1}\right)^{1/2} [u_1 x f_1(\eta) + 4u_3 x^3 f_3(\eta) + 6u_5 x^5 f_5(\eta) + 8u_7 x^7 f_7(\eta) + 10u_9 x^9 f_9(\eta) + \dots]$$

(2,21)

onde "f" é a função adimensional de velocidade e " $\eta$ " é uma variável convencional de similaridade e é definida como:

$$\eta = y \sqrt{\frac{u_1}{v}}$$

(2,22)

As componentes da velocidade estão relacionados com a

função de corrente através de

$$u = \frac{\partial \Psi}{\partial y} \quad (2,23)$$

e

$$v = - \frac{\partial \Psi}{\partial x}$$

Consequentemente as componentes da velocidade e, suas derivadas podem ser expressas em termos de  $f(\eta)$ . Logo

$$u = u_1 x f'_1 + 4 u_3 x^3 f'_3 + 6 u_5 x^5 f'_5 + 8 u_7 x^7 f'_7 + 10 u_9 x^9 f'_9 + \dots \quad (2,24)$$

$$\frac{\partial u}{\partial x} = u_1 f'_1 + 12 u_3 x^2 f'_3 + 30 u_5 x^4 f'_5 + 56 u_7 x^6 f'_7 + 90 u_9 x^8 f'_9 + \dots \quad (2,25)$$

$$\frac{\partial u}{\partial y} = \frac{\partial u}{\partial \mu} \frac{\partial \mu}{\partial y} = \sqrt{\frac{u_1}{v}} [u_1 x f''_1 + 4 u_3 x^3 f''_3 + 6 u_5 x^5 f''_5 + 8 u_7 x^7 f''_7 + 10 u_9 x^9 f''_9 + \dots] \quad (2,26)$$

Onde as linhas designam derivação em relação a  $\eta$ .

$$\frac{\partial^2 u}{\partial y^2} = \sqrt{\frac{u_1}{v}} [u_1 x f'''_1 + 4 u_3 x^3 f'''_3 + 6 u_5 x^5 f'''_5 + 8 u_7 x^7 f'''_7 + 10 u_9 x^9 f'''_9 + \dots] \quad (2,27)$$

De modo análogo, teremos

$$v = - \sqrt{\frac{u_1}{v}} [u_1 f_1 + 12 u_3 x^2 f_3 + 30 u_5 x^4 f_5 + 56 u_7 x^6 f_7 + 90 u_9 x^8 f_9 + \dots] \quad (2,28)$$

Passemos agora ao cálculo dos outros membros da Equação (2,3).

0 termo  $(U - u)$

$$\begin{aligned}
 (U-u) &= [u_1x + u_3x^3 + u_5x^5 + u_7x^7 + u_9x^9 + \dots] - [u_1xf'_1 + \\
 &\quad 4u_3x^3f'_3 + 6u_5x^5f'_5 + 8u_7x^7f'_7 + 10u_9x^9f'_9 + \dots] \\
 &= xu_1(1-f'_1) + u_3x^3(1-4f'_3) + u_5x^5(1-6f'_5) + u_7x^7(1-8f'_7) + \\
 &\quad + u_9x^9(1-10f'_9) + \dots \tag{2,29}
 \end{aligned}$$

Os termos  $u \frac{\partial u}{\partial x}$  e  $v \frac{\partial u}{\partial y}$

$$\begin{aligned}
 &[u_1xf'_1 + 4u_3x^3f'_3 + 6u_5x^5f'_5 + 8u_7x^7f'_7 + 10u_9x^9f'_9 + \dots] + \\
 &\cdot [u_1f'_1 + 12u_3x^2f'_3 + 30u_5x^4f'_5 + 56u_7x^6f'_7 + 90u_9x^8f'_9 + \dots]
 \end{aligned}$$

$$\begin{aligned}
 u \frac{\partial u}{\partial x} &= u_1^2(f'_1)^2x + (16u_1u_3f'_1f'_3)x^3 + (36u_1u_5f'_1f'_5)x^5 + \\
 &+ (64u_1u_7f'_1f'_7 + 192u_3u_5f'_3f'_5)x^7 + (100u_1u_9f'_1f'_9 + \\
 &+ 320u_3u_7f'_3f'_7 + 180u_5^2(f'_5)^2)x^9 + \dots \tag{2,30}
 \end{aligned}$$

O termo  $v \frac{\partial u}{\partial y}$  será:

$$\left[ - \frac{v}{u_1} (u_1 j_1 + 12 u_3 x^2 f_3 + 30 u_5 x^4 f_5 + 56 u_7 x^6 f_7 + 90 u_9 x^8 f_9 + \dots) \right].$$

$$\cdot \left[ \sqrt{\frac{u_1}{v}} (u_1 x f_1'' + 4 u_3 x^3 f_3'' + 6 u_5 x^5 f_5'' + 8 u_7 x^7 f_7'' + 10 u_9 x^9 f_9'' + \dots) \right]$$

$$\begin{aligned} v \frac{\partial u}{\partial y} = & - \left[ 4 f_1^2 f_1'' x + (4 u_1 u_3 f_1 f_3'' + 12 u_1 u_3 f_3 f_1'' x^3 + (6 u_1 u_5 f_1 f_5'' + 43 u_3^2 f_3 f_3'' + \right. \right. \\ & + 30 u_1 u_5 f_5 f_1'') x^5 + (8 u_1 u_7 f_1 f_7'' + 72 u_3 u_5 f_3 f_5'' + 120 u_3 u_5 f_5 f_3'' + 56 u_1 u_7 f_7 f_1'') x^7 + \\ & \left. \left. + (10 u_1 u_9 f_1 f_9'' + 96 u_3 u_7 f_3 f_7'' + 180 u_5^2 f_5 f_5'' + 224 u_3 u_7 f_7 f_3'' + 90 u_1 u_9 f_9 f_1'') x^9 + \dots \right] \right] \end{aligned}$$

$$(2.31)$$

substituindo agora (2,20);(2,27);(2,29);(2,30) e (2,31) na Eq. (2,14) agrupando os termos de mesma potencia de x, e igualando os termos correspondentes dos dois membros, teremos como resultado o seguinte sistema de equações diferenciais ordinárias para as funções  $f_1$ ;  $f_3$ ; ...

Para os termos de potencia de x, qual à unidade, teremos:

$$u_1^2 ((f_1')^2 - f_1 f_1'') = u_1^2 + u_1 \frac{v}{k} (1 - f_1') + 4 f_1^2 f_1'''$$

dividindo esta equação por  $u_1^2$  teremos.

$$(f_1')^2 - f_1 f_1'' = 1 + f_1''' + \frac{v}{ku_1} (1 - f_1') \quad (2.32)$$

Para os termos de potencia de x igual a tres, teremos após os devidos arranjos:

$$4f'_1 f'_3 - f'_1 f''_3 - 3f'_3 f''_1 = 1 + f''_3 + \frac{v}{ku_1} \left( \frac{1}{4} - f'_3 \right) \quad (2,33)$$

Para os termos de potencia de  $x$  igual a cinco teremos a seguinte equação:

$$6f'_1 f'_5 - f'_1 f''_5 - 5f'_5 f''_1 + 8 \frac{u_3^2}{u_1 u_5} ((f'_3)^2 - f'_3 f''_3) = 1 + f''_5 + \frac{u_3^2}{2 u_1 u_5} + \frac{v}{ku_1} \left( \frac{1}{6} - f'_5 \right) \quad (2,34)$$

Para  $x^7$  teremos a seguinte equação:

$$8f'_1 f'_7 - f'_1 f''_7 - 7f'_7 f''_1 + \frac{3}{2} \frac{u_3 u_5}{u_1 u_7} (16f'_3 f'_5 - 6f'_3 f''_5 - 10f'_5 f''_3) - \frac{u_3 u_5}{u_1 u_7} = 1 + f''_7 + \frac{v}{ku_1} \left( \frac{1}{8} - f'_7 \right) \quad (2,35)$$

e finalmente para os termos  $x^9$  teremos:

$$10f'_1 f'_9 - 9f'_9 f''_1 - f'_1 f''_9 + \frac{16 u_3 u_7}{5 u_1 u_9} (10f'_3 f'_7 - 3f'_3 f''_7 - 7f'_7 f''_3) + 18 \frac{u_5^2}{u_1 u_9} ((f'_5)^2 + f'_5 f''_5) - \frac{u_3 u_7}{u_1 u_9} - \frac{1}{2} \frac{u_5^2}{u_1 u_9} = 1 + f''_9 + \frac{v}{ku_1} \left( \frac{1}{10} - f'_9 \right) \quad (2,36)$$

As condições de contorno para as Equações (2,32) a (2,36) são de correntes das condições de contorno (2,15) e (2,16), teremos portanto:

$$\begin{array}{lll} n = 0 & f_1 = f'_1 = 0 & f_3 = f'_3 = 0 \\ & f_5 = f'_5 = 0 & f'_7 = f'_7 = 0 \\ & f_9 = f'_9 = 0 & \end{array}$$

$$\eta = \infty$$

$$f'_1 = 1$$

$$f'_3 = \frac{1}{4}$$

$$f'_5 = \frac{1}{6}$$

$$f'_7 = \frac{1}{8}$$

$$f'_9 = \frac{1}{10}$$

Os valores das constantes  $\frac{u_1 u_7}{u_1 u_9}$ ,  $\frac{u_5^2}{u_1 u_9}$ , etc, que aparecem nas equações acima são facilmente calculadas através das relações (2,19).

## CAPÍTULO 3

### TRATAMENTO NUMÉRICO

#### 3.1 - O sistema de Equações obtido

As equações diferenciais obtidas no capítulo anterior constituem um sistema de equações diferenciais ordinárias. Estas equações são todas de terceira ordem e (2,37) dā para cada uma delas três condições de contorno. Apenas a primeira, isto é, a que se refere a  $f_1$  é não linear, todas as demais são lineares.

Devido à impossibilidade de se obter uma solução analítica, as equações (2,32) à (2,36) foram resolvidas numericamente, juntamente com as condições (2,37). Como a equação (3,32) se refere unicamente à  $f_1$ , ela pode ser resolvida primeiramente e seus valores são usados posteriormente como constantes para resolver a equação (2,33) e assim sucessivamente até que a última equação, ou seja, a equação (2,36) esteja resolvida.

#### 3.2 - O método utilizado

Foi utilizado o método de Runge-Kutta [10], que é um método numérico, prático em computação para a solução de sistemas de equações diferenciais ordinárias. Quando a equação diferencial for de ordem "n", torna-se necessário transformá-la em um sistema de "n" equações de primeira ordem, através de um simples processo de abaixamento de ordem. Por exemplo, seja a equação:

$$(f'_1)^2 - f_1 f''_1 = 1 + f''_1 + \frac{v}{u_1 k} (1 - f'_1) \quad (2,32)$$

Por uma questão de comodidade faremos  $\frac{v}{u_1 k} = c$ .

Para transformar a equação diferencial ordinária de terceira ordem (2,32) num sistema de três equações diferenciais ordinárias de primeira ordem, adotamos o seguinte procedimento:

Denomina-se uma função, por exemplo,  $w$ , como sendo igual à primeira derivada da função  $f_1$  da equação (2,32). Assim, a primeira derivada da função  $w$  será igual a segunda derivada da função  $f_1$  de equação (2,32), e assim sucessivamente.

Então, tem-se

$$w = f'_1 \quad (3,1)$$

$$w' = f''_1 \quad (3,2)$$

$$w'' = f'''_1 \quad (3,3)$$

Substituindo-se as equações (3,1); (3,2) e (3,3) na equação (2,32) obtemos o seguinte sistema:

$$w'' + f'_1 w' - w(w + c) + c + 1 = 0$$

$$w = f'_1 \quad (3,4)$$

Procedendo de forma idêntica para o sistema de equações diferenciais ordinárias (3,4), ou seja, fazendo

$$z = w' \quad (3,5)$$

$$z = w'' \quad (3,6)$$

Dessa forma, temos

$$z' + f'_1 z - w(w + c) + c + 1 = 0$$

$$w = f'_1 \quad (3,7)$$

$$z = w'$$

que é um sistema de equação diferenciais ordinárias de primeira ordem.

Com as condições de contorno (2,37), para  $f_1$ , isto é,

$$\eta = 0 \quad f_1 = f'_1 = 0$$

Obtemos

$$f_1(0) = 0$$

$$w(0) = 0 \quad (3.8)$$

$$z(0) = A$$

onde "A" é a terceira condição de contorno a ser encontrada.

### 3.3 - O programa utilizado e as modificações feitas

Foi utilizado um programa de computador (Apendice) da biblioteca do IMEC de Campinas. Este programa sofreu algumas alterações a fim de atender as peculiaridades deste trabalho. Por exemplo, o método de Runge-Kutta exige tres condições de contorno para a resolução do sistema de equações diferenciais ordinárias (3,7). Devemos pois encontrar o valor de "A" das condições de contorno (3,8). Isso pode ser feito dando-se para A, não um valor, mas um intervalo de valores e um incremento para o cálculo. De todos os resultados encontrados, será escolhido aquele que melhor satisfizer a terceira condição de contorno (2,37) para  $f'_1$ , ou seja:

$$\eta = \infty \quad f'_1 = 1$$

Portanto enquanto a variável " $\eta$ " cresce será observado aqui o valor de  $w$ , este deve tender a unidade. Se  $w$  não tende à 1 em ne-

nhum dos valores de A, então deve-se tentar outro intervalo de valores. O procedimento é idêntico para todas as equações subsequentes.

### 3.4 - Os resultados obtidos

Como já foi dito anteriormente, o sistema de equações diferenciais ordinárias de 3<sup>a</sup> ordem (3,32) à (3,36) foi resolvi do numericamente e os resultados são apresentados através das tabelas (1) a (5). Nessas tabelas são apresentados os valores da primeira derivada das funções  $f_1$  a  $f_9$  para os tres valores do parâmetro de permeabilidade  $c = \frac{v}{u_1 k}$ . Esses valores serão uti lizados posteriormente para o cálculo das características do es coamento, tais como: Distribuição de velocidade; Espessura da camada limite; Espessura de deslocamento e Espessura de momento. São mostrados ainda nas tabelas (1) a (5) os valores das segun das derivadas das funções  $f_1$  à  $f_9$  para  $\eta = 0$ . Esses valores se rão utilizados para o cálculo da tensão de cisalhamento na pare de e ainda o cálculo da localização do ponto de separação. Nas figuras (2) a (5) são ainda representados graficamente, as pri meiras derivadas das funções  $f_1$  ;  $f_3$  ;  $f_5$  e  $f_7$  para os tres va lores do parâmetro de permeabilidade  $c$ . Através desses gráfi cos pode-se observar claramente que o aumento do parâmetro de permeabilidade  $c = \frac{v}{u_1 k}$  faz com que a  $f'_i$  alcance a sua assíntota mais rapidamente.

TABELA 1 - Valores da primeira derivada da função  $f_1'$  da Equação (2,21)

VALORES DE $f_1'$			
$\eta$	$c=0,01$	$c=1,0$	$c=5,0$
0	0,0000	0,0000	0,0000
0,2	0,2272	0,2792	0,4056
0,4	0,4153	0,4912	0,6539
0,6	0,5673	0,6485	0,8027
0,8	0,6869	0,7626	0,8899
1,0	0,7787	0,8432	0,9399
1,2	0,8474	0,8990	0,9679
1,4	0,8973	0,9365	0,9833
1,6	0,9327	0,9610	0,9915
1,8	0,9571	0,9767	0,9958
2,0	0,9734	0,9865	0,9979
2,2	0,9840	0,9923	0,9990
2,4	0,9906	0,9958	0,9995
2,6	0,9947	0,9977	0,9998
2,8	0,9970	0,9988	0,9999
3,0	0,9984	0,9994	0,9999
3,2	0,9992	0,9997	0,9999
3,4	0,9996	0,9998	1,0000
3,6	0,9998	0,9999	1,0000
3,8	0,9999	0,9999	1,0000
4,0	0,9999	1,0000	1,0000

VALORES DE $f_1''$			
$\eta$	$c=0,01$	$c=1,0$	$c=5,0$
0	1,2366	1,5853	2,5506

TABELA 2 - Valores da primeira derivada da função  $f_3'$  da Equação (2,21)

VALORES DE $f_3'$			
$\eta$	$c=0,01$	$c=1,0$	$c=5,0$
0	0,0000	0,0000	0,0000
0,2	0,1373	0,1302	0,1336
0,4	0,2320	0,2125	0,2043
0,6	0,2848	0,2577	0,2390
0,8	0,3123	0,2803	0,2537
1,0	0,3223	0,2882	0,2582
1,2	0,3208	0,2874	0,2580
1,4	0,3127	0,2872	0,2563
1,6	0,3016	0,2755	0,2544
1,8	0,2902	0,2690	0,2529
2,0	0,2793	0,2634	0,2517
2,2	0,2712	0,2590	0,2510
2,4	0,2645	0,2558	0,2505
2,6	0,2597	0,2536	0,2502
2,8	0,2563	0,2521	0,2502
3,0	0,2542	0,2512	0,2501
3,2	0,2529	0,2507	0,2500
3,4	0,2522	0,2503	0,2500
3,6	0,2520	0,2501	0,2459
3,8	0,2520	0,2500	0,2499
4,0	0,2519	0,2500	0,2498

VALORES DE $f_3''$			
$n$	$c=0,01$	$c=1,0$	$c=5,0$
0	0,7876	0,7724	0,8698

TABELA 3 - Valores da primeira derivada da função  $f_5'$  da Equação (2,21)

VALORES DE $F_5'$			
$\eta$	$c=0,01$	$c=1,0$	$c=5,0$
0	0	0	0
0,2	0,1542	0,1233	0,1016
0,4	0,2167	0,1883	0,1733
0,6	0,2147	0,1866	0,1766
0,8	0,1776	0,1434	0,1516
1,0	0,1295	0,1356	0,1333
1,2	0,0867	0,1099	0,1199
1,4	0,0575	0,0823	0,1083
1,6	0,0443	0,0786	0,0999
1,8	0,0452	0,0801	0,1016
2,0	0,0562	0,0916	0,1099
2,2	0,0733	0,1053	0,1198
2,4	0,0924	0,1179	0,1335
2,6	0,1110	0,1316	0,1434
2,8	0,1268	0,1418	0,1563
3,0	0,1397	0,1499	0,1589
3,2	0,1492	0,1716	0,1633
3,4	0,1791	0,1633	0,1686
3,6	0,1601	0,1449	0,1683
3,8	0,1659	0,1661	0,1676
4,0	0,1688	0,1673	0,1669

VALORES DE $F_5''$			
$\eta$	$c=0,01$	$c=1,0$	$c=5,0$
0	1,0320	0,7071	0,5582

TABELA 4 - Valores da primeira derivada da função  $f_7'$  da equação  
(2,21)

VALORES DE $f_7'$			
$n$	$c=0,01$	$c=1,0$	$c=5,0$
0	0,0	0,0	0,0
0,2	0,2546	0,1562	0,1187
0,4	0,2799	0,2062	0,1625
0,6	0,1977	0,1625	0,1375
0,8	0,1595	0,1437	0,1312
1,0	0,1828	0,1565	0,1406
1,2	0,2791	0,2250	0,1875
1,4	0,4215	0,3062	0,2437
1,6	0,5673	0,3937	0,3156
1,8	0,6828	0,3806	0,3875
2,0	0,7495	0,5625	0,3437
2,2	0,7179	0,5437	0,4312
2,4	0,7180	0,5375	0,4187
2,6	0,5824	0,5687	0,3750
2,8	0,5506	0,4312	0,3125
3,0	0,4553	0,3375	0,2562
3,2	0,3664	0,2625	0,2033
3,4	0,2925	0,1937	0,1625
3,6	0,2364	0,1562	0,1375
3,8	0,1945	0,1375	0,1281
4,0	0,1463	0,1364	0,1265

VALORES DE $f_7''$			
$n$	$c=0,01$	$c=1,0$	$c=5,0$
0	2,0368	1,8614	1,7923

TABELA 5 - Valores da primeira derivada da função  $f_9'$  da Equação  
(2,21)

VALORES DE $f_9'$			
$\eta$	$c=0,01$	$c=1,0$	$c=5,0$
0	0,0	0,00	0,00
0,2	1,1470	0,7746	0,6120
0,4	1,8362	1,2994	1,0582
0,6	2,7607	1,8492	1,5417
0,8	4,2630	2,8487	2,1058
1,0	6,2185	4,0482	2,7252
1,2	8,2455	5,1978	3,3752
1,4	9,9245	6,1474	4,0134
1,6	10,9568	6,6222	4,4412
1,8	11,1921	6,7221	4,5005
2,0	10,6839	6,3723	4,2254
2,2	9,5821	5,4976	3,7320
2,4	8,1174	4,5980	3,1015
2,6	6,5219	3,7484	2,5245
2,8	4,9862	2,9237	2,0193
3,0	3,6226	2,1490	1,5635
3,2	2,5207	1,5443	0,5985
3,4	1,6807	0,9995	0,6815
3,6	1,0812	0,6247	0,3959
3,8	0,6850	0,2998	0,1835
4,0	0,1885	0,1481	0,1349
VALORES DE $f_9''$			
$\eta$	$c=0,01$	$c=1,0$	$c=5,0$
0	0,2801	0,2194	0,1834

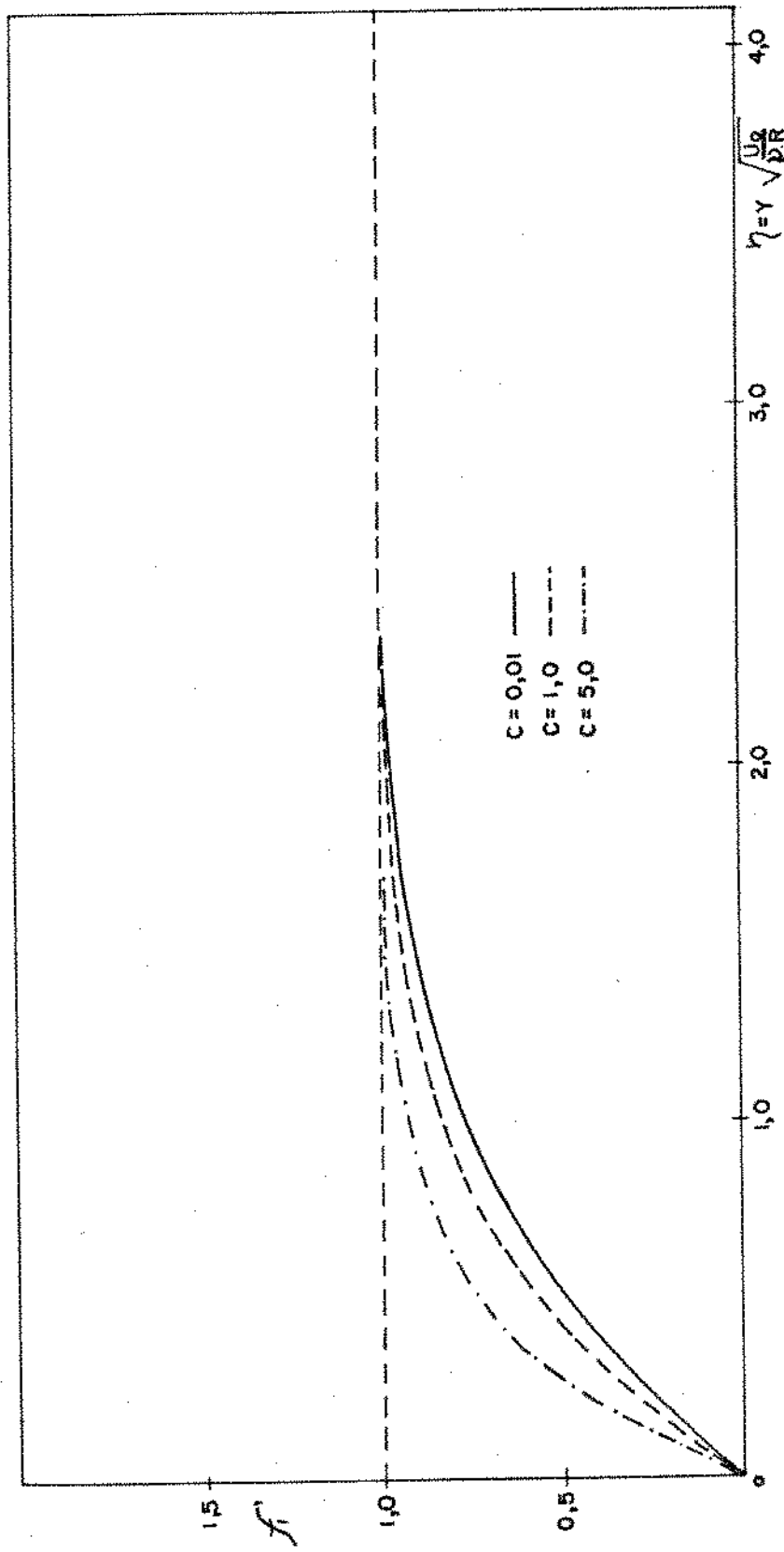


Fig. 2 - A função  $f_i$  da equação (2,21)

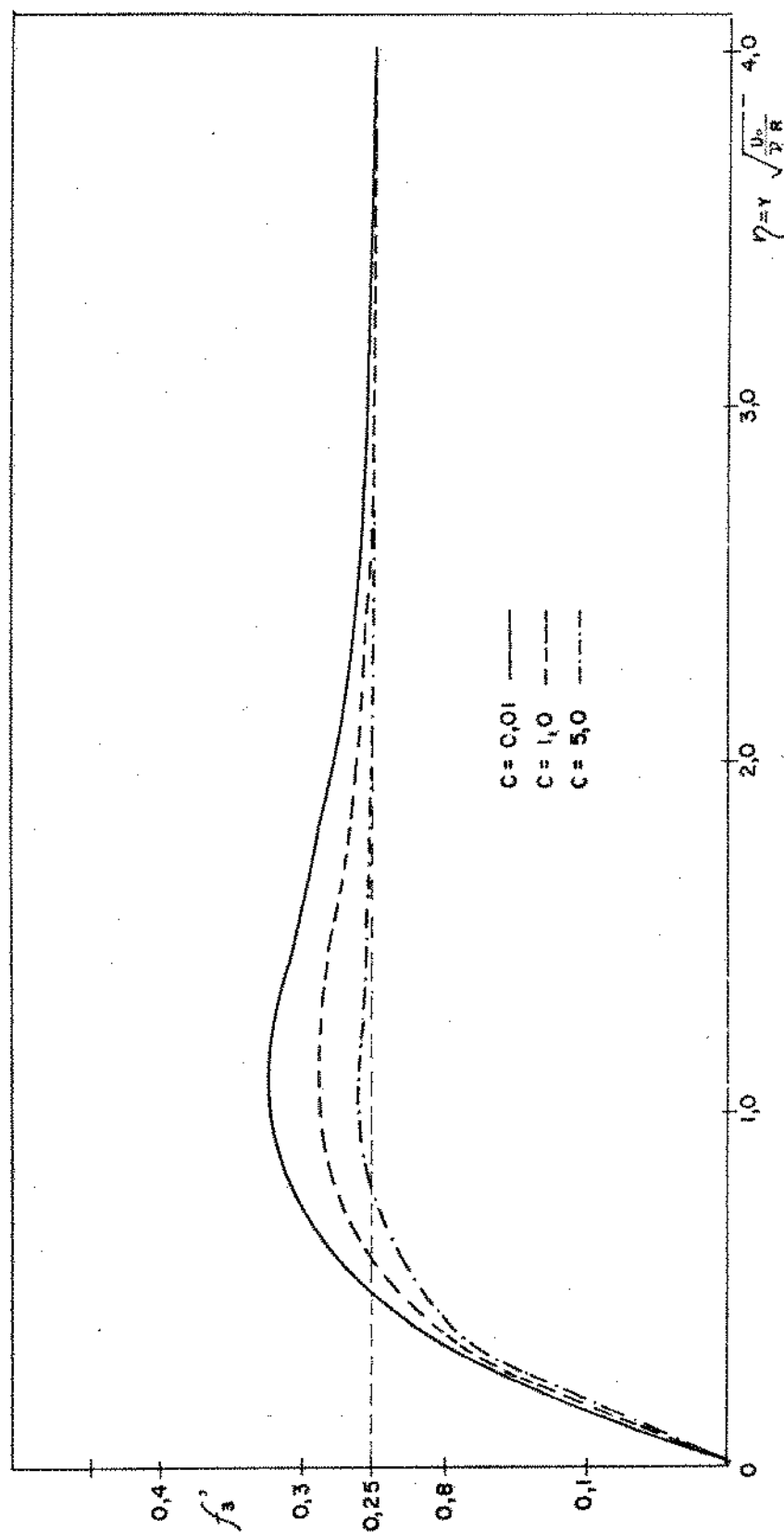
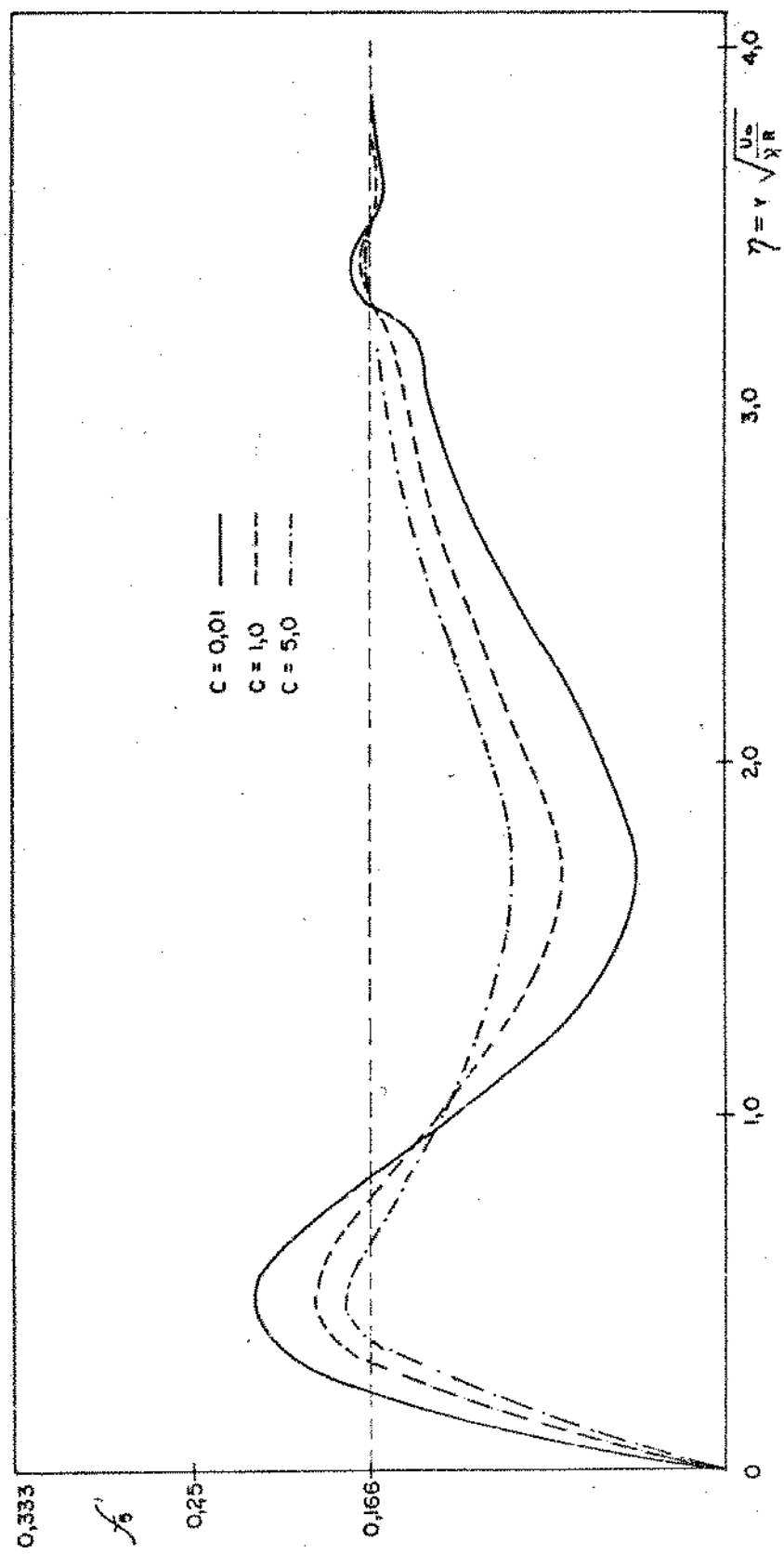


Fig. 3 - A função  $f_3'$  da equação (2,21)



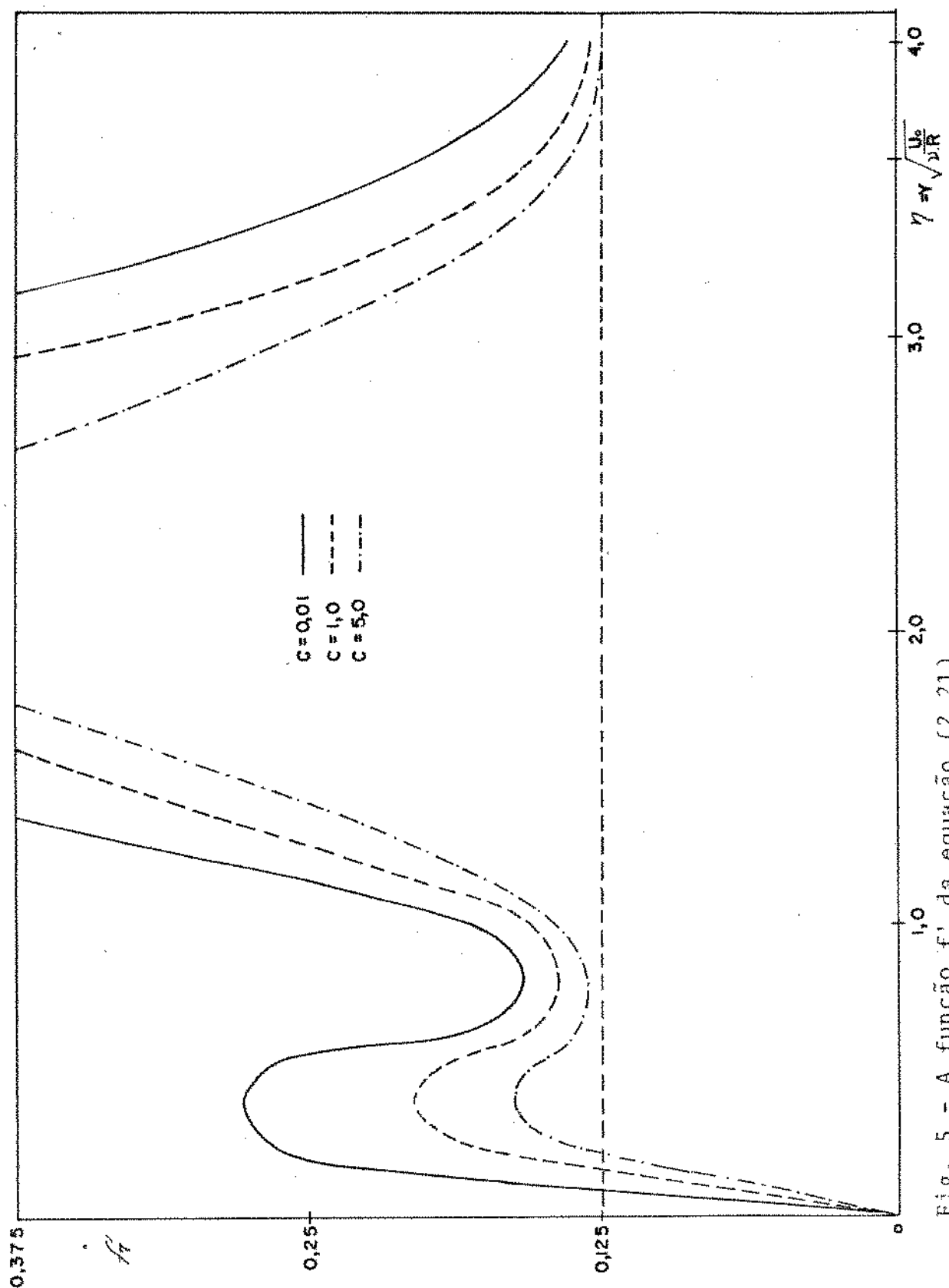


Fig. 5 - A função  $f_7'$  da equação (2, 21)

## CAPÍTULO 4

### DISCUSSÃO DOS RESULTADOS

#### 4.1 - PERFIS DE VELOCIDADE

Podemos plotar os perfis de velocidade em termos da nova variável adimensional de similaridade  $\eta$ , usando a seguinte relação.

$$\frac{u}{U_0} = \frac{u}{U(x)} \cdot \frac{U(x)}{U_0} \quad (4.1.1)$$

onde  $\frac{u}{U_0}$  é dado pela equação (2,24). A equação (2,16) nos fornece o valor de  $\frac{U(x)}{U_0}$ , teremos então:

$$\frac{u}{U(x)} = \frac{1}{\sin \frac{x}{R}} \left\{ \frac{x}{R} f'_1 - \frac{4}{3!} \left(\frac{x}{R}\right)^3 f'_3 + \frac{6}{5!} \left(\frac{x}{R}\right)^5 f'_5 - \frac{8}{7!} \left(\frac{x}{R}\right)^7 f'_7 + \frac{10}{9!} \left(\frac{x}{R}\right)^9 f'_9 \dots \right\} \quad (4.1.2)$$

Usando a equação (4.1.2) acima e os valores das tabelas (1) a (5) plotamos os gráficos de " $\eta$ " versus  $\frac{u}{U(x)}$  para vários ângulos  $\phi = \frac{x}{R}$  ao longo do contorno do cilindro. Os perfis de velocidades são apresentados desde zero grau até o ponto de separação que varia de acordo com a permeabilidade "k" do meio. As figuras (6) ; (7) e (8) apresentam a distribuição de velocidade para tres meios com diferentes permeabilidades "k", o que é caracterizado pelos tres diferentes valores que toma a constante "c". Note-se que quanto menor o valor de "c" mais permeável será o meio. Para "c" igual a zero evidentemente teremos um meio de fluido puro.

A figura (6) representa a distribuição de velocidade para o meio mais permeável dos meios representados. Note-se que os

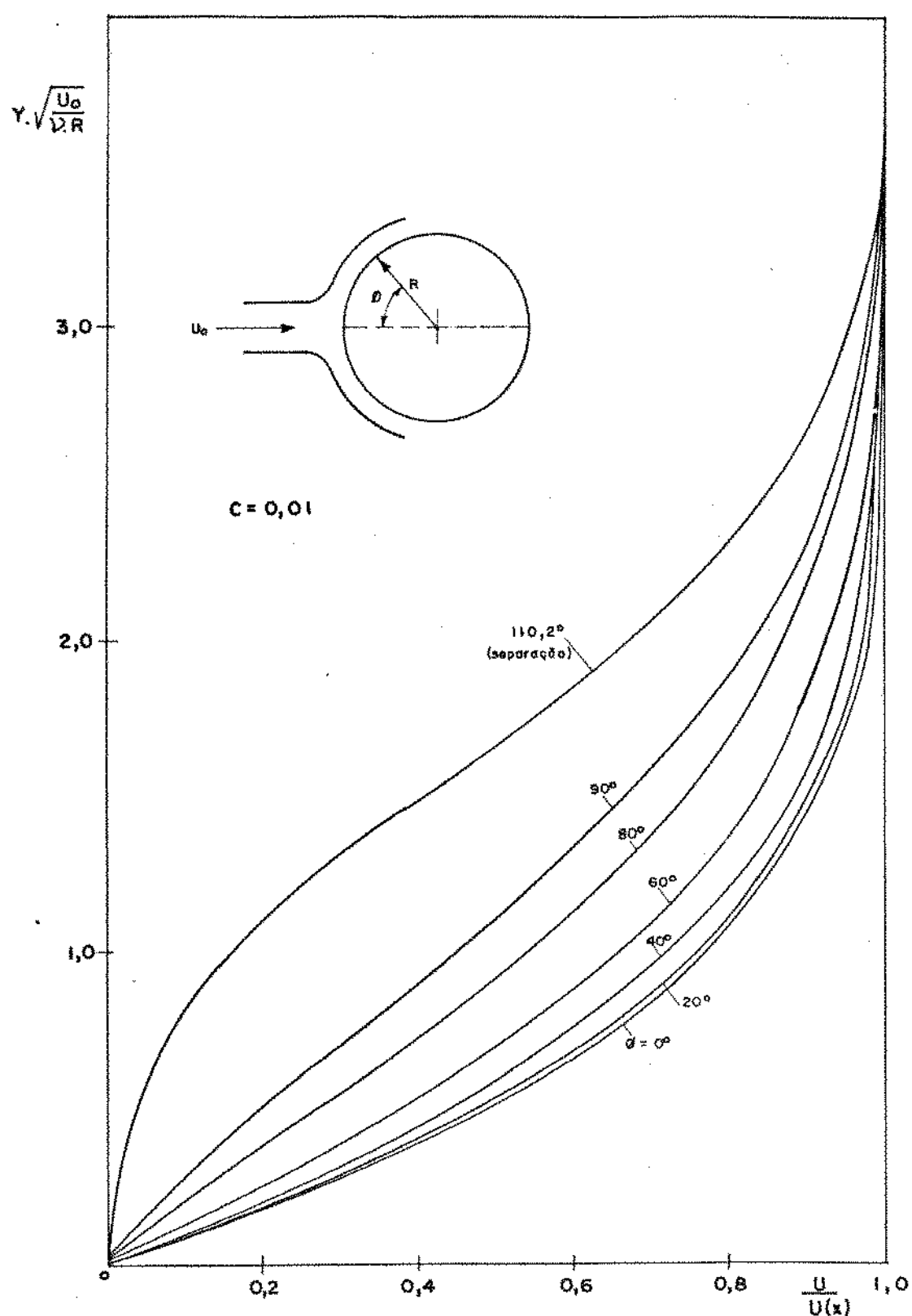


Fig. 6 - Distribuição de velocidade dentro da cama de limite sobre um cilindro circular horizontal.  
 $\phi$  = Ângulo medido a partir do Ponto de Estagnação.

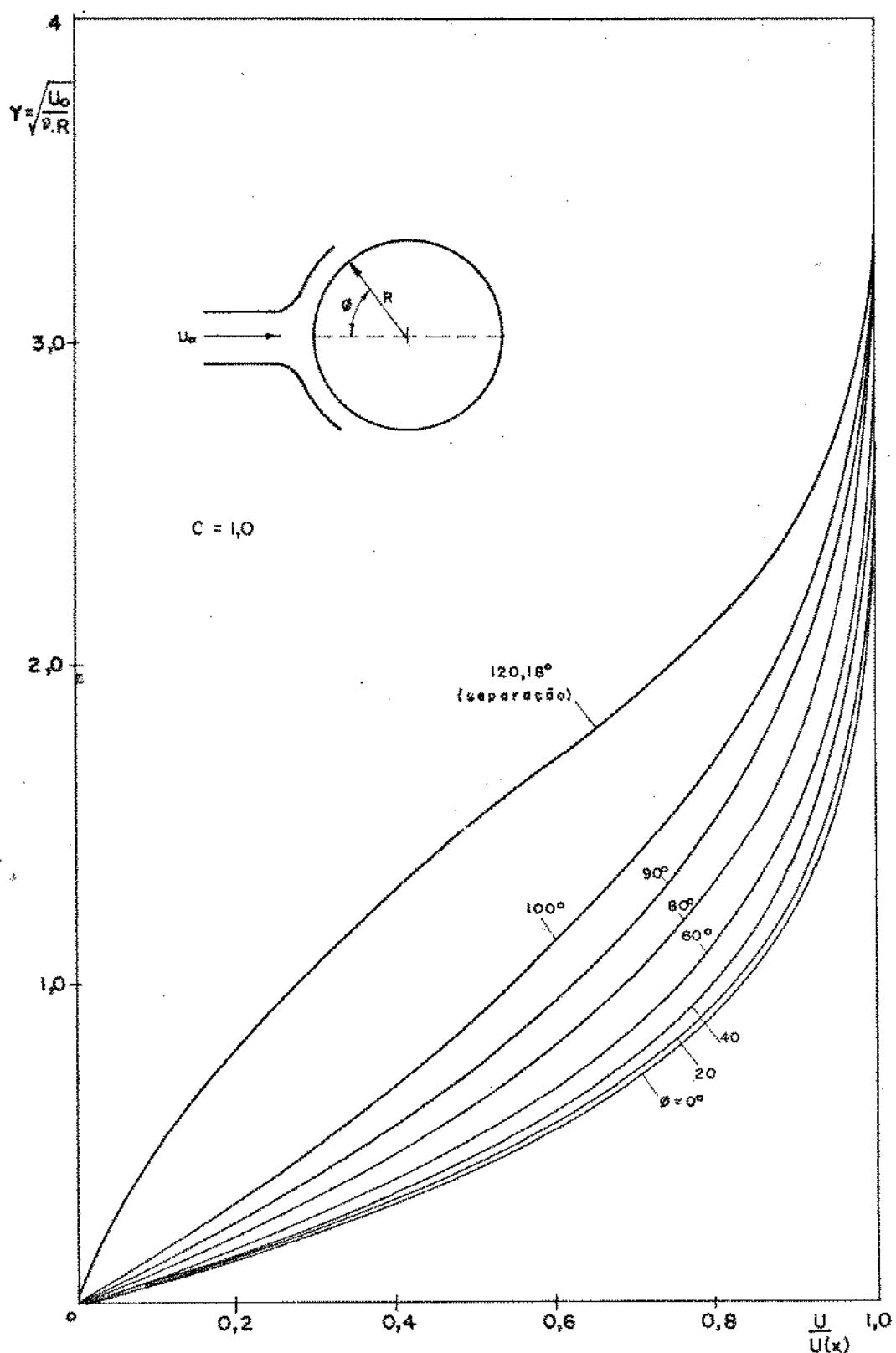


Fig. 7 - Distribuição de velocidade dentro da cama da limite sobre um cilindro circular horizontal.  
 $\phi$  = Angulo medido a partir do Ponto de Estagnação.

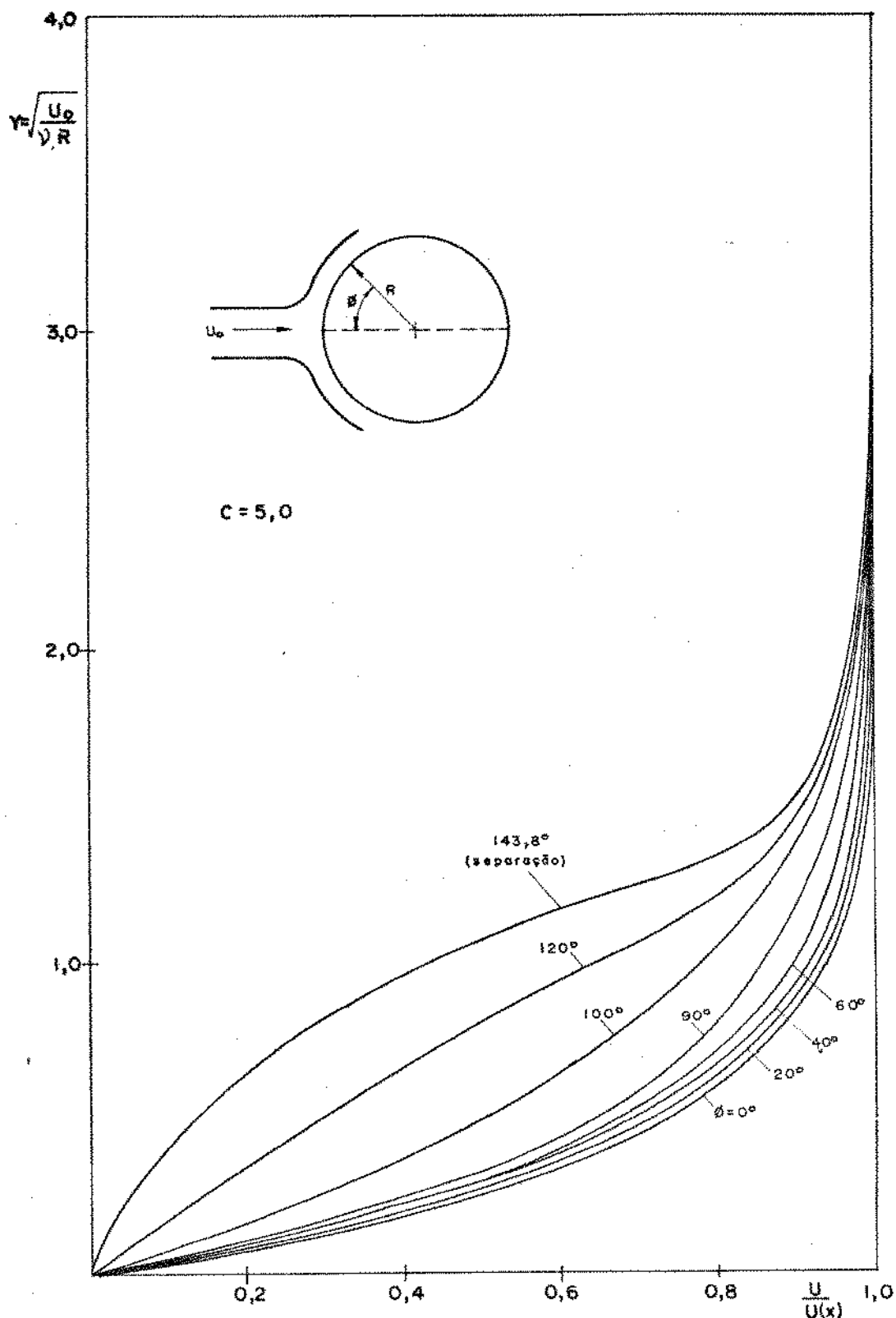


Fig. 8 - Distribuição de velocidade dentro da cama da limite sobre um cilindro circular horizontal.  
 $\phi$  = Angulo medido a partir do Ponto de Estagnação.

perfis apresentam concavidade voltada para cima para todos os ângulos até aproximadamente  $90^\circ$ . Após os  $90^\circ$  verifica-se uma clara tendência de inversão da concavidade do perfil e o aparecimento de um ponto de inflexão. Isso indica claramente que logo após os  $90^\circ$  o fluxo passa a ser retardado continuando dessa forma até a separação.

Nas figuras (7) e (8) que representam meios cujas permeabilidades são cada vez menores, nota-se um aumento de concavidade dos perfis de velocidade, isso é bem evidenciado principalmente na figura (8). A tendência de inversão da concavidade ocorre em pontos cada vez mais distantes de  $90^\circ$ . Nota-se portanto uma clara diminuição da variação da velocidade próximo ao contorno do corpo com a diminuição da permeabilidade do meio.

#### 4.2 - Espessura da Camada Limite

É praticamente impossível indicar com precisão a espessura da camada limite, já que a transformação da velocidade na dita camada para a velocidade externa se dá assintoticamente. Isto no entanto é de pouca importância porque a velocidade na camada limite tende a um valor que é muito próximo à velocidade externa já a uma pequena distância do contorno do corpo. Costuma-se entretanto, definir a espessura da camada limite como a distância, do contorno do corpo, onde a velocidade difere de 1 por cento da velocidade externa. Com base nessa definição podemos encontrar a espessura de camada limite aproveitando os valores calculados através da equação (4.1.2) a qual foi utilizada para tra-

çar os perfis de velocidade. Para isso tomemos, dos valores calculados, apenas o primeiro valor encontrado igual a 0,99 para cada ângulo calculado e chamemos " $\delta$ " para o "y" correspondente a esse valor. Assim, podemos plotar um gráfico de  $\delta$ : espessura da camada limite, em função do ângulo  $\phi$ .

A figura (9) apresenta o gráfico da espessura da camada limite, obtido para três diferentes valores da permeabilidade. A linha contínua representa a espessura da camada limite do meio mais permeável enquanto a linha de traços e pontos representa a espessura da camada limite para o meio menos permeável. Nota-se portanto claramente que a variação da permeabilidade do meio traduz-se também numa variação da espessura da camada limite. A diminuição da permeabilidade do meio provoca uma diminuição da espessura da camada limite tornando-a também mais longa. Isso ocorre porque, conforme observamos os perfis de velocidade anteriormente, a diminuição da permeabilidade do meio provoca uma diminuição da variação da velocidade, isso ocorre tanto ao longo do contorno do cilindro como ao longo da ordenada "y". A diminuição da variação da velocidade ao longo do contorno do cilindro faz com que a camada limite se torne mais longa porque a perda de energia cinética na parte frontal do cilindro é menor, restando portanto ainda alguma energia para que o fluido possa atravessar parte da "costa" do cilindro sem que a separação ocorra. Essa mesma diminuição de variação de velocidade provoca uma diminuição da espessura da camada limite porque com a diminuição da variação da velocidade a componente "u" da velocidade atinge maiores valores mais rapidamente.

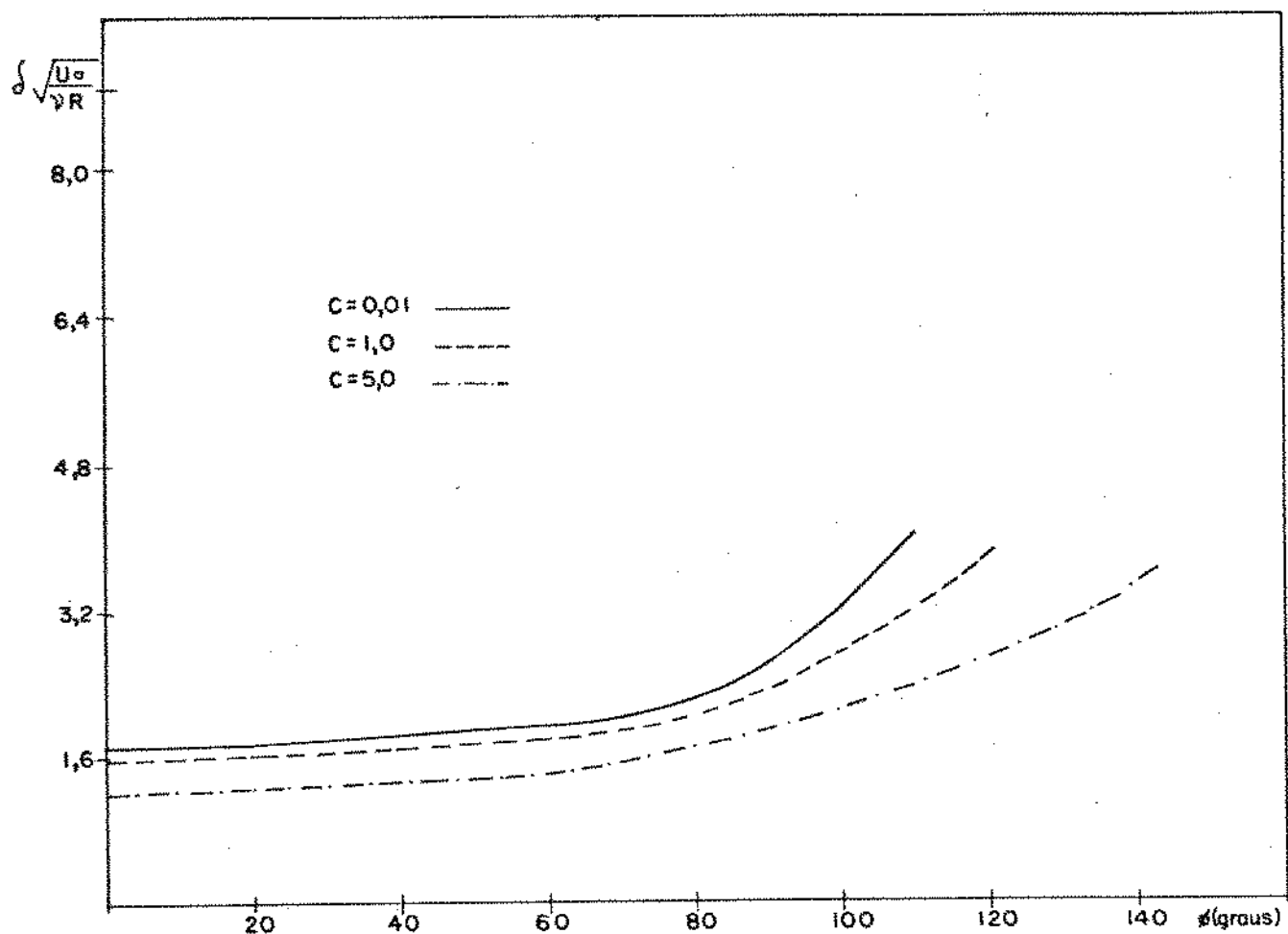


Fig. 9 - Espessura da camada limite.

#### 4.3 - Espessura de Deslocamento

Uma medida fisicamente significativa da espessura da camada limite é a "espessura de deslocamento". A espessura de deslocamento é a distância que o fluxo externo é deslocado como consequência da diminuição de velocidade na camada limite. A diminuição do fluxo volumétrico devido à influência do atrito é

$$\int_{y=0}^{\infty} (U(x) - u) dy$$

de onde resulta para  $\delta_1$  a equação de definição

$$U(x) \delta_1 = \int_{y=0}^{\infty} (U(x) - u) dy$$

ou

$$\delta_1 = \int_{y=0}^{\infty} \left(1 - \frac{u}{U(x)}\right) dy \quad (4.3.1)$$

Sabemos que

$$\eta = \frac{y}{R} \sqrt{\frac{2U_0 R}{v}} \quad (2.22)$$

então

$$dy = d\eta \sqrt{\frac{v \cdot R}{2U_0}} \quad (2.22.a)$$

O valor de  $u/U(x)$  é dado pela equação (4.1.2), que substituído juntamente com a equação (2.22.a) na equação (4.3.1) nos fornece

$$\delta_1 = \sqrt{\frac{v \cdot R}{2U_0}} \int_{\eta=0}^{\infty} \left[ 1 - \left\{ \frac{1}{\operatorname{sen} \frac{x}{R}} f'_1 - \frac{4}{3!} \left[ \frac{x}{R} \right]^3 f'_3 + \frac{6}{5!} \left[ \frac{x}{R} \right]^5 f'_5 - \frac{8}{7!} \left[ \frac{x}{R} \right]^7 f'_7 + \frac{10}{9!} \left[ \frac{x}{R} \right]^9 f'_9 \dots \right\} \right] d\eta \quad (4.3.2)$$

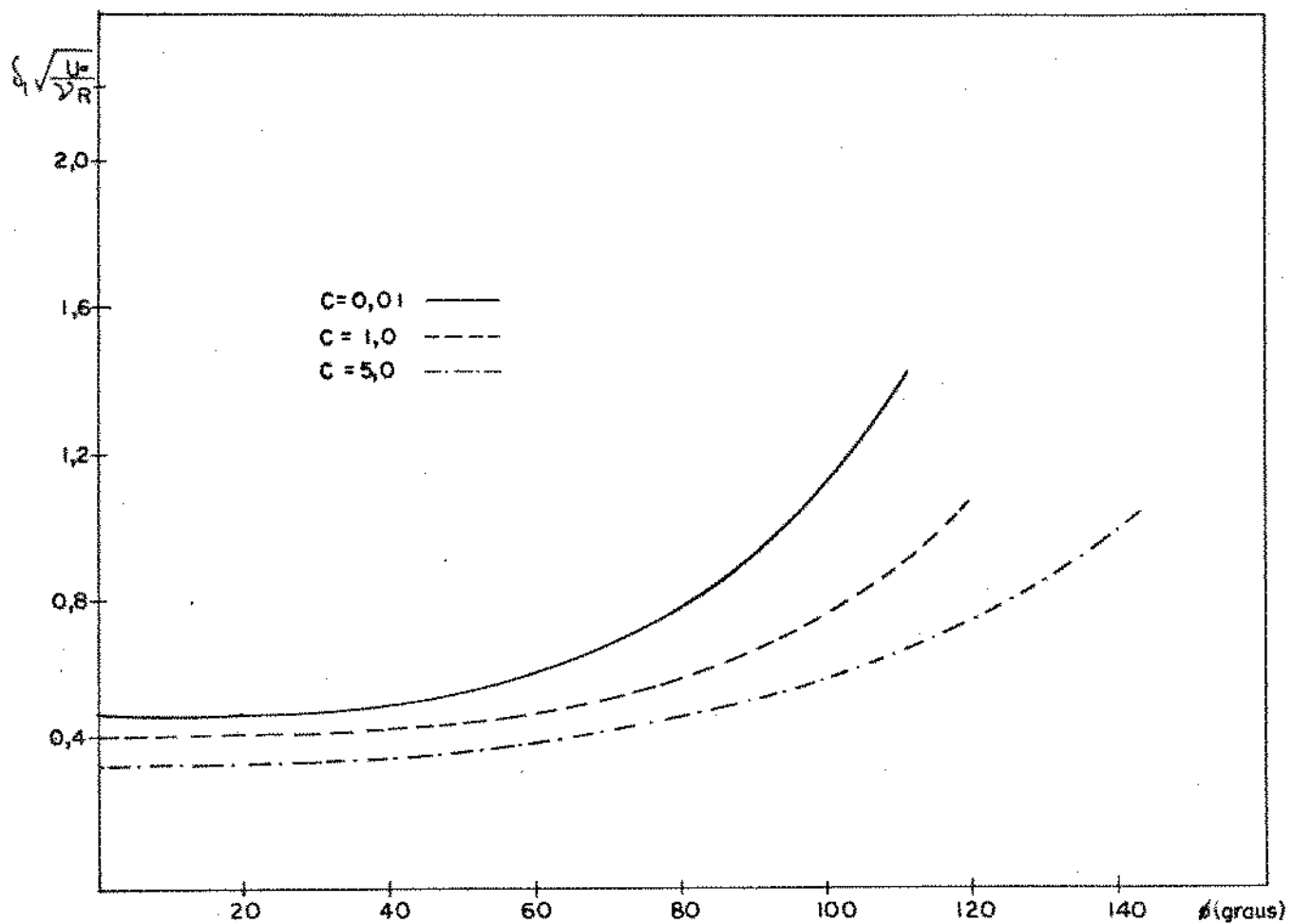


Fig. 10 - Espessura de Deslocamento.

Devido a dificuldade da resolução analítica, a equação (4.3.2) foi resolvida numericamente substituindo-se, para um ângulo  $\phi = \frac{x}{R}$ , os valores dos  $f_i$ ' os quais eram tomados da tabelas' (1) a (5) em função da variável adimensional " $\eta$ ". A área formada sob a curva resultante representa portanto o valor de " $\delta_1$ " para esse ângulo. Repetindo-se o procedimento para vários ângulos obteve-se os valores de " $\delta_1$ " para todo o contorno do cilindro enquanto esta camada se mantém. A figura (10) mostra a variação da espessura de deslocamento " $\delta_1$ " em função do ângulo  $\phi$ , para tres meios com distintas permeabilidades. Como se poderia esperar, a espessura de deslocamento possui um comportamento semelhante ao da camada limite, ou seja, tornando-se menos espessa e mais longa com a diminuição da permeabilidade do meio.

#### 4.4 - Espessura de Momento

A perda de momento na camada limite, como consequência do atrito, que se propaga na camada limite, comparado com o correspondente fluxo uniforme, é  $\rho \int_{y=0}^{\infty} u(U(x) - u) dy$ , consequentemente a perda de momento pode ser definida por

$$\rho U^2(x) \delta_2 = \rho \int_{y=0}^{\infty} u(U(x) - u) dy$$

ou

$$\delta_2 = \int_{y=0}^{\infty} \frac{u}{U(x)} \left(1 - \frac{u}{U(x)}\right) dy \quad (4.4.1)$$

com o

$$dy = d\eta \sqrt{\frac{v}{2U_0}} \quad ; \quad (2.22.a)$$

e

ANEXO A MAP  
MÉTODOS NUMÉRICOS CENTRAIS

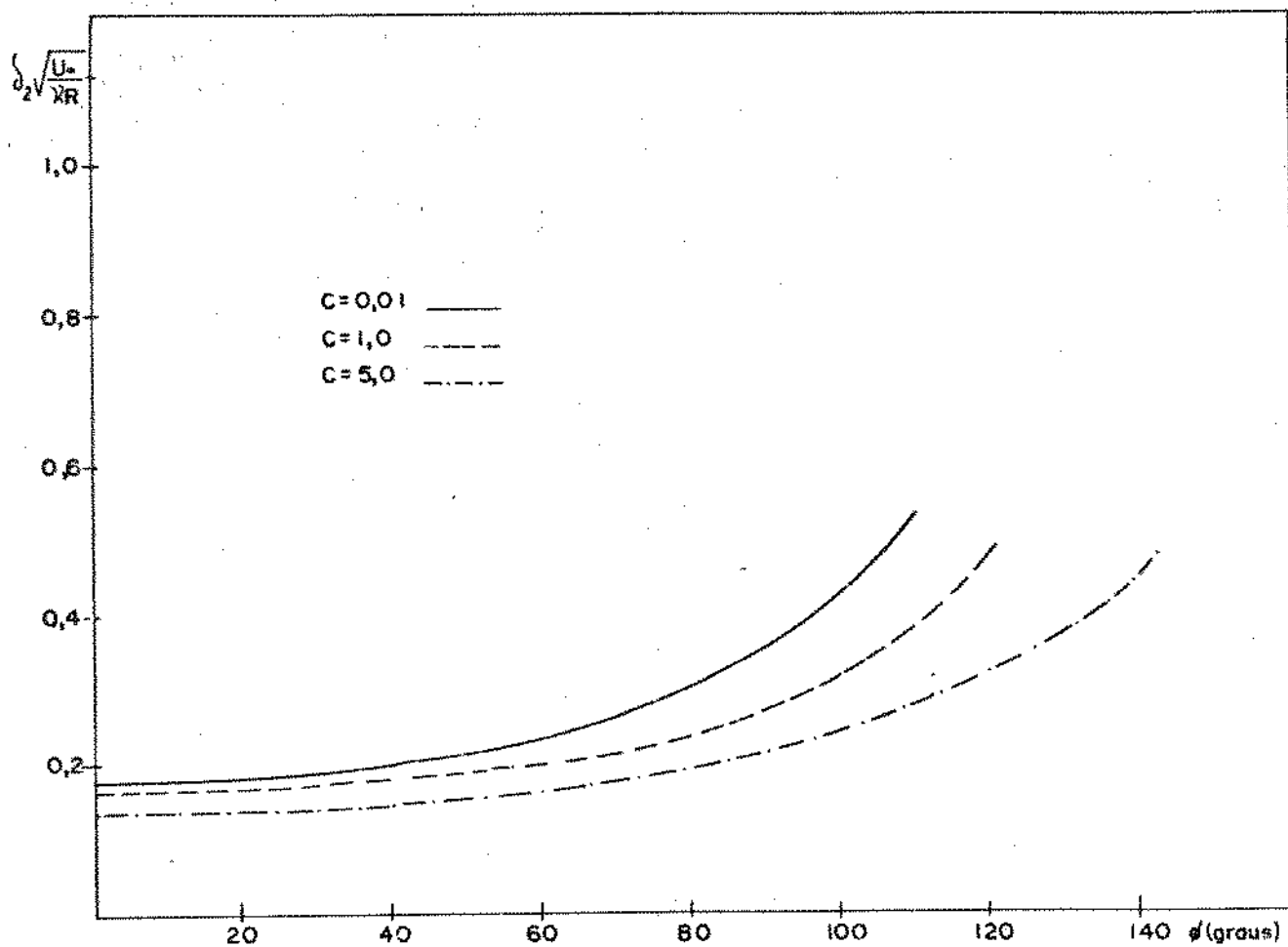


Fig. 11 - Espessura de Momento.

$$\frac{u}{U(x)} = \frac{1}{\operatorname{sen} \frac{x}{R}} \left\{ \frac{x}{R} f'_1 - \frac{4}{3!} \left(\frac{x}{R}\right)^3 f'_3 + \frac{6}{5!} \left(\frac{x}{R}\right)^5 f'_5 - \frac{8}{7!} \left(\frac{x}{R}\right)^7 f'_7 + \frac{10}{9!} \left(\frac{x}{R}\right)^9 f'_9 \dots \right\} \quad (4.1.2)$$

teremos

$$\delta_2 = \sqrt{\frac{R}{2U_0}} \int_{n=0}^{\infty} \frac{1}{\operatorname{sen} \frac{x}{R}} \left[ \left\{ \frac{x}{R} f'_1 - \frac{4}{3!} \left(\frac{x}{R}\right)^3 f'_3 + \frac{6}{5!} \left(\frac{x}{R}\right)^5 f'_5 \dots \right\} \right] \cdot \left[ 1 - \frac{1}{\operatorname{sen} \frac{x}{R}} \left\{ \frac{x}{R} f'_1 - \frac{4}{3!} \left(\frac{x}{R}\right)^3 f'_3 + \frac{6}{5!} \left(\frac{x}{R}\right)^5 f'_5 \dots \right\} \right] d\eta \quad (4.4.2)$$

Esta equação foi também resolvida numericamente e de forma semelhante à resolução dada a  $\delta_1$ , os resultados são mostrados na figura (11) para três diferentes valores da permeabilidade "k" do meio.

#### 4.5 - Tensão de cisalhamento e ponto de separação

A tensão de cisalhamento local é dado por

$$\sigma_p = \mu \left( \frac{\partial u}{\partial y} \right)_0 \quad (4.5.1)$$

onde  $\mu$  é a viscosidade absoluta do fluido e o subscrito 0 (zero) indica o valor na parede, isto é, para  $y = 0$ .

A relação  $\left( \frac{\partial u}{\partial y} \right)$  é obtido da equação (2.26), teremos então

$$\sigma_p = \mu \left( \frac{\partial u}{\partial \eta} \frac{\partial \eta}{\partial y} \right)_0$$

$$\frac{\partial u}{\partial y} = \frac{\partial u}{\partial n} \times \frac{\partial n}{\partial y} = \sqrt{\frac{u_1}{v}} \{ u_1 x f''_1 + 4 u_3 x^3 f''_3 + 6 u_5 x^5 f''_5 + 8 u_7 x^7 f''_7 + 10 u_9 x^9 f''_9 + \dots \}$$

(2,26)

Substituindo na equação (2,26) acima os valores dos  $u_i$  pelos seus respectivos valores dados através das relações (2,19), teremos após substituir a equação (2,26) na equação (4.5.2) e feitos os devidos arranjos a seguinte equação para a tensão de cisalhamento adimensional.

$$\frac{\sigma_p}{\frac{1}{2} \cdot \rho \cdot U_o^2} \sqrt{\frac{2 U_o R}{v}} = 8 \{ \frac{x}{R} f''_1(0) - \frac{4}{3!} (\frac{x}{R})^3 f''_3(0) + \frac{6}{5!} (\frac{x}{R})^5 f''_5(0) - \\ - \frac{8}{7!} (\frac{x}{R})^7 f''_7(0) + \frac{10}{9!} (\frac{x}{R})^9 f''_9(0) \dots \}$$

(4.5.3)

A figura (12) apresenta a variação da tensão de cisalhamento ao longo do contorno do cilindro. Os valores dos coeficientes  $f''_i$  são tomados das tabelas (1) a (5). O gráfico mostra a variação da tensão de cisalhamento para três diferentes valores da permeabilidade "k", a influência da variação dessa permeabilidade é notável. A diminuição da permeabilidade provoca um substancial aumento da tensão de cisalhamento, este crescimento é tão mais rápido e alcança cada vez maiores valores à medida que se diminui a permeabilidade do meio. Note-se ainda que o valor máximo da tensão de cisalhamento ocorre em um ponto cada vez mais distante do ponto de estagnação a medida que a permeabilidade do meio diminui. A tensão de cisalhamento cresce ao longo do contorno do corpo enquanto o fluxo se mantém acelerado e diminui assim que o fluxo torna-se retardado.

O fe  
te ligada à  
ria do fluxo  
longo do con  
parte frontal  
pressão decre  
-180<sup>o</sup>) aprese  
ve-se ao fato  
lerado enquan  
dos fluidos i  
dro depende d  
fluido perfe  
sentam uma bo  
não ocorre na  
tam uma ligei

A seculas fluidas do cilindro, perda de enete para atravesar uma regiao de penetrar nessa pressao de condensar de ser encontrado o hamento deve a equacao (4.5) e igualar

para c

licada pelo fato de que as partículas  
ao atravessarem a parte anterior  
de atrito, sofrem uma acentuada  
desaceleração que lhes resta é insuficiente  
para que as partículas não conseguem ser  
arrastadas pela distribuição de  
massa do ponto de separação po-  
ndição de que a tensão de cisa-  
mento. Tomemos portanto novamente a  
tabela 1 e os valores das tabelas (1) a  
(3) encontrados. Teremos portanto:

$$6,982 \left(\frac{x}{R}\right) - 0,0189 \left(\frac{x}{R}\right)^7 + 0,000039 \left(\frac{x}{R}\right)^9 = 0$$

fazendo  $\left(\frac{x}{R}\right)^2$

$$6,982 - 2,722 - 0,0189 x_\delta^3 + 0,000039 x_\delta^4 = 0$$

Resolvendo o polinômio acima, encontramos

$x_\delta = 3,6992$ ; o que corresponde a um ponto de separação localizado em:

$$\frac{x}{R} = \phi = 110,2^\circ$$

Analogamente, teremos para os outros dois valores do parâmetro de permeabilidade  $c = 1,0$  e  $c = 5,0$ , os pontos de descolamento situados à  $120,18^\circ$  a  $143,8^\circ$  respectivamente. Esses pontos estão também representados nas figuras (5); (6) e (7) que representam as distribuições de velocidade para os meios de diferentes permeabilidades.

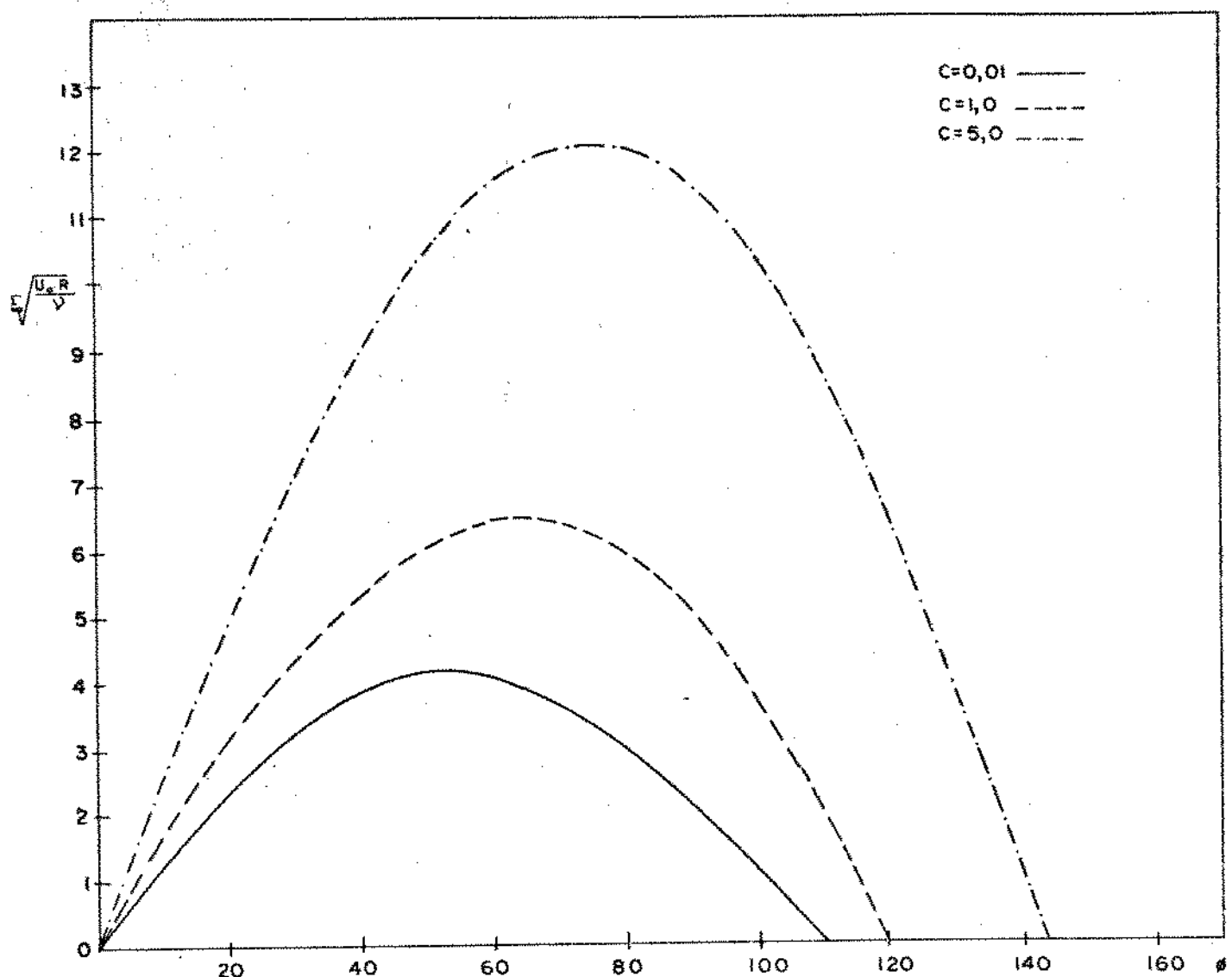


Fig. 12 - Tensão de cisalhamento ao longo do contorno do cilindro.

## CAPÍTULO 5

### CONCLUSÕES

Este estudo apresenta a influência da variação da permeabilidade do meio no escoamento sobre um cilindro no meio poroso.

A solução foi obtida através da Lei de Darcy Generalizada e da Equação de continuidade, transformadas em um sistema de equações diferenciais ordinárias através de uma transformação de similaridade e resolvida numericamente.

São apresentadas resultados em forma de gráficos para a velocidade na direção do escoamento, para a espessura da camada limite, espessura de deslocamento, espessura de momento, tensão de cisalhamento e ponto de separação.

Dos resultados obtidos verificou-se que a variação de permeabilidade de meio provoca substanciais alterações nas características do escoamento. Notou-se que a diminuição da permeabilidade do meio provoca: a) Um ligeiro aumento da velocidade longitudinal próximo ao contorno do corpo, entretanto a variação dessa velocidade é bem pequena; b) A camada limite tornou-se mais delgada e mais longa, o mesmo acontecendo com as espessuras de deslocamento e momento; c) A tensão de cisalhamento alcança maiores valores; d) O ponto de separação ocorre a uma distância cada vez maior do ponto de estagnação anterior do cilindro.

## N O M E N C L A T U R A

- $c = \frac{v}{u_1 k}$  parâmetro de permeabilidade  
 $f$  - função admensional de velocidade  
 $k$  - permeabilidade do meio poroso  
 $k'$  - cte  
 $L$  - comprimento de referência  
 $P$  - Pressão  
 $P_1$  - perda de pressão através do meio poroso  
 $p$  - ponto de estagnação  
 $R$  - raio  
 $R_e$  - número de Reynolds  
 $t$  - tempo  
 $U(x)$  - velocidade do fluxo fora da camada limite  
 $U_o$  - velocidade longitudinal de referência  
 $u_i$  - constante  
 $u$  - velocidade longitudinal dentro da camada limite  
 $v$  - velocidade normal de referência  
 $v$  - velocidade transversal dentro da camada limite

$x$  - distância longitudinal à parede

$y$  - distância normal à parede

#### LETRAS GREGAS

$\delta$  - espessura da camada limite

$\delta_1$  - espessura de deslocamento

$\delta_2$  - espessura de momento

$$\eta = y \sqrt{\frac{u_1}{v}} \text{ variável adimensional}$$

$\mu$  - viscosidade absoluta

$\nu$  - viscosidade cinemática

$\phi = \frac{x}{R}$  - ângulo

$\rho$  - densidade

$\sigma$  - tensão de cisalhamento

$\psi$  - função de corrente

REFERÉNCIAS BIBLIOGRÁFICAS

- (1) - SCHEIDERGGER, A. E. The fysics of flow trough Porous Me-  
dia, University of Toronto Press, Third edition, 1974
- (2) - CHAWLA, S. S. and SINGH, S., Oscilatory Flow Past a Po-  
rous Bed. ACTA Mechanica 34, 205 - 213 (1979)
- (3) - BRINKMAN, H.C., Drag Theories of Permeability, in: The  
 Physics of Flow Trough Porous Media (Scheidegger, A.E.),  
 p. 145. University of Toronto Press. 1974
- (4) - DEV SARMA, B.K., Flow in Horizontal Circular Cylinder  
Bounded by a Porous Medium. ACTA Mechanica 34, 251-255  
 (1979)
- (5) - NARASIMHACHARYULU, V. and RAMACHARYULU, N. P., Steady  
Flow Through a porous region contained between two cy-  
linders. Journal of Indian Institute of Science. 60 ,  
 Nº 2, 37-42 (february, 1978)
- (6) - ISMAIL, K. A. R. and LIU, C. Y., Falling Film Along a ver-  
tical Porous Wall. DEM-FEC-UNICAMP
- (7) - NARASIMHACHARYULY, V. and RAMACHARYULU, N. P., Steady  
Flow in a region between two slowly rotating spheres.  
 Journal of Indian Institute of Science. 60 , 247-252  
 (february, 1978)
- (8) - YAMAMOTO, K. and YOSHIDA, Z., Flow through a Porous Wall  
with Convective Acceleration. Journal of the Physical'

Bc/5119

Society of Japan, vol. 37, № 3, 774-779 (september ,  
1974)

(9) - SCHLICHTING, H., Boundary Layer Theory, McGraw-Hill, sixth  
edition, 1968

(10)- KOPCHENOVA, N. V. and MORON, I.A., Computational Mathemati  
cs, Mir Publishers, Moscou, 1975

**A P E N D I C E**

C PARTE A:

PROGRAM EDLGO

\*\*\*\*\*

C DEFINICAO DAS VARIAVEIS

COMMON /CONST/ XCTES(12)

COMMON /CTR/ REQ, CTE

REAL\*8 X(0/4), Y(0/4), Z(0/4), S(0/4), H, CTz, LINF, LISUP, YZBOM

I\*INC0, FATOR, BOM

REAL\*8 NOME, DEV, NOMANT

INTEGER H, D, J, I, S(10), NE, NEGOUT, NODD, IOUT

LOGICAL GERA

C PARTE B

C INICIALIZACAO DOS PARAMETROS DE CADA EQUACAO, SEM COMO ABERTURA DE ARQUIVOS.

```

10  MDEL='0'
20  TYPE 20
30  FORMAT(10X,*UNIDADE DE SAIDA  #>> '$')
40  REAL(S,30)DEV
50  FORMAT(A10)
60  IF(DEV.EQ.'TTY',OR,DEV.EQ.'DSKT',OR,DEV.EQ.'DET') GO TO 50
70  TYPE 40,DEV
80  FORMAT(/10X*'A3' UNIDADE NAO DISPONIVEL, PROVAVELMENTE DIGIT
90  1ADA ERRADA.*/10X'ATENCAO, ESCREVA:'/10X"TTY" PARA SAIDA NO TEC-
100  PTELAL.*/10X"DSKT" PARA CRIACAO DE ARQUIVO P/ ARMAZENAR DADOS.*/
110  310X"DET" PARA SAIDA DIRETA NA IMPRESSORA.*//)
120  GO TO 10
130  IF(DEV.NE.'DSK') GO TO 160
140  TYPE 70
150  FORMAT(10X,*FINALIZADE DO ARQUIVO (INPUT/OUTPUT) #>> '$')
160  REAL(S,80)NODD
170  FORMAT(A10)
180  IF(NODD,NE,0,I,GR,NODD,E9,'0') GO TO 160
190  TYPE 90,NODD
200  FORMAT(/10X,'COMANDO I*A1' INVALIDO, ATENCAO, ESCREVA:'/10X
210  1 **OUTPUT" OU "0" PARA QUE O ARQUIVO SEJA DE SAIDA.*/10X
220  2 **INPUT" OU "1" PARA QUE O ARQUIVO SEJA DE ENTRADA*/25X' PARA
230  3 UMA PRXIMA EQUACAO.*//)
240  GO TO 60
250  TYPE 110
260  FORMAT(10X,*ARQUIVO DE SAIDA? #>> '$')
270  READ(S,30)NAME
280  DECLOC(10,120,NAME)S
290  FORMAT(10A10)
300  DO 130 I=2,7
310  IF(I.EQ.1) GO TO 140
320  CONTINUE
330  DO 150 I=I,10
340  S(I)='
350  S(7)='; S(8)='; S(9)='; S(10)='; S(11)='
360  ENCODE(10,120,NAME)S
370  OPEN(UNIT=20,DEVICE=DEV,FILE=NAME)
380  TYPE 150
390  FORMAT(10X,*NUMERO DA EQUACAO DIFERENCIAL #>> '$')

```

```

C READ(5,190)REG
190 FORMAT(1)
IF (REG.GT.0.AND.REG.LE.5) GO TO 210
TYPE 200,REG
200 FORMAT(//10X'A EQUACAO DO NUMERO 'II' NAU ESTA'' IMPLEMENTADA.'/
110X'ESTAO IMPLEMENTADAS AS EQUACOES DE 1 A 5.'//10X'REESCREVA O
2 NUMERO DA EQUACAO CORRETA'//)
GO TO 170
210 REGOUT=REG*2+1
IF (REG.LT.1)GO TO 230
TYPE 220
220 FORMAT(10X,'*ARQUIVO ANTERIOR' >> 'S')
READ(5,30)NOMANT
OPEN(UNIT=21,DEVICE='DSK',FILE=NOMANT)
TYPE 240
240 FORMAT(10X,'*VALOR DA CONSTANTE' >> 'S')
REAL(5,250)CTE
FORMAT(D)
TYPE 270,REGOUT
FORMAT(10X,'*PARAMETRO ALATORIO, F'1I'***'(0)= 'S)
REAL(5,250,ERR=260)H(0)
GO TO 450

```

## C PARTe C

## C GERADOR AUTOMATICO

```

230 READ(5,290)B(1)
FORMAT(8)
IF (B(1).EQ.'GERE')GO TO 310
TYPE 300,B(1)
FORMAT(10X,'*AS') COMANDO INVALIDO.'//10X'ATENCAO, ESCREVA O VALO
IR DO PARAMETRO ALATORIO OU '/10X'A PALAVRA "GERE" QUE LIGARA'
20 GERADOR AUTOMATICO.'//)
GO TO 260
310 GERA=.TRUE.
IF (.NOT.B(1))FATOR=1.00
IF (.NOT.B(1))FATOR=0.2500
IF (.NOT.B(1))FATOR=0.1666666666666666
IF (.NOT.B(1))FATOR=0.12500
IF (.NOT.B(1))FATOR=0.100
TYPE 320
320 FORMAT(//10X26(*)/10X'*** GERADOR AUTOMATICO ***'/10X'***'5X
1*X#STREADER' 5X'***'/10X26(*)')
TYPE 340
340 FORMAT(//10X'*INTERVALO DE RASTREAMENTO'//11X'LIMITE INFERIOR' >>
11 'S)
READ(5,250)LIINF
TYPE 350
350 FORMAT(11X'LIMITE SUPERIOR' >> 'S)
READ(5,250)LISUP
IF (LIINF.GT.LISUP)GO TO 370
TYPE 360,LINIF,LISUP
FORMAT(//10X'LIMITE INFERIOR MAIOR OU IGUAL AO LIMITE SUPERIOR' //
1//10X'LIMIF='F11.0,S'LISUP='+11.0//10X'REESCREVA OS VALO
'RELO CORRETOS'//)
GO TO 330
370 TYPE 360
FORMAT(10X'*INCREMENTO INICIAL' >> 'S)

```

11. PENO(5,250)INCH  
 IF(LINCR.GE.1,D-9)TYPE 390  
 390 : FORMAT(10X29('\*)/10X'\*\*\* RASTREAMENTO INICIADO \*\*\*'/10X'\*\*\*'6X  
 : 1\*ALG. U A R D E \*\*\*'/10X29('\*)//)  
 : IF(1nCR.GE.1,D-9)GO TO 420  
 : TYPE 400,1nCR  
 400 : FORMAT('//10X'INCREMENTO ''D7.1'' INVALIDO. POSSIBILIDADE DE LOUP  
 : LINE.'/10X'INTERVALO PARA O INCREMENTO 10,1D-91,'/10X'REESCREVA  
 : 2 O VALOR CORRETO')//)  
 : GO TO 370  
 410 : LINE=LINE+1nCR  
 : IF(LINE.LE.1nSOP)GO TO 420  
 : IF(LINCR.LT.1,D-9)GO TO 430  
 : 1nSOP=6004+1nCR  
 : LINE=LINE-1nCR  
 : 1nCR=1nCR/1.001  
 : 50=DLINE  
 420 : \*(0)=LINE  
 : GO TO 430  
 430 : WRITE(20,140)NOUT,BOM  
 440 : FORMAT(10X'\*\*\* RASTREAMENTO COMPLETADO \*\*\*'/10X'\*\*\* MELHOR VALOR  
 : IR ENCONTRADO PARA F'II'\*\*\*'(0)= '017.16//)  
 : GEKA=.FALSE.  
 : \*(0)=ENDT

C PARTIE C

450 X(0)=0.00 ; Y(0)=0.00 ; Z(0)=0.00  
 B=0.01  
 N=501  
 I00)=20

C PARTIE C

I=1  
 IF(.NOT.GERA.AND.=000.00,10)WRITE(20,460)CTE,B,NOUT,NOUT,  
 1NOUT  
 460 : FORMAT('//30X'CONSTANTE : 'F4.2/9X'VALOR INTERNO DO INCREMENTO'  
 : 1B) : '07.17// STAIIX'F'11,20A'F'11'\*\*\*18X'F'11'\*\*\*11'\*\*\*'  
 : 23(7X29(''))  
 : IF(.NOT.GERA.AND.=000.00,10)WRITE(20,470)X(0),Y(0),Z(0),\*(0)  
 470 : FORMAT(1XF3.1,3(2A20,14))  
 : IF(.NOT.GERA.AND.=000.00,1I)WRITE(20,480)Y(0),Z(0),\*(0)  
 480 : FORMAT(1D)  
 : DD=490 I=0,2  
 : IF(SERI,10,1)READ(21,430)(XCTES(J),J=1,(NE0+(NE0\*2-1)))  
 : CALL RGKETIV(X(1),Y(1),Z(1),n(1),Y(I+1),Z(I+1),\*(I+1),B)  
 : X(I+1)=X(1)+d  
 : IF(.NOT.GERA.AND.=000.00,10',=0.0,AND,I.E4,IOUT)WRITE(20,470)X(I+  
 : 1),Y(I+1),Z(I+1),\*(I+1)  
 : IF(IOUT,00,1)IOUT=IOUT+20  
 : IF(.NOT.GERA.AND.=000.00,1I)WRITE(20,480)Y(I+1),Z(I+1),n(I+1),  
 : 1\*(I+1)  
 : CONTINUE  
 : X(0)=X(3)+n  
 : N=n-4  
 : DD=510 I=1,n  
 : IF(A0,10,1)READ(21,420)(XCTES(J),J=1,(NE0+(NE0\*2-1)))  
 : CALL RGKETIV(X,Y,Z,w,B)  
 : IF(.NOT.GERA.AND.=000.00,10',=0.0,AND,I,E4,IOUT)WRITE(20,470)X(4),Y(4),

```

1Z(4),&(4)
IF(.NOT.GERA.AND.,900,ER,'I')WRITE(ZD,480)Y(4),Z(4),&(4)

IF(I,09,130,AND,0A8G(FATUR-Z(4)),.LT,0A8G(FATUR-Y2BOM))LSOM=LINF
IF(I,80,490,AND,LINF,ZD,0D1)Y2BOM=Z(4)

D   IF(GERA.AND.I,20,400)TYPE 9999,LISUM,LINE,INCR,BGM,Y2BOM,Z(4),
D   IFATUR
D9999 FORMAT(//, *48>> SAIDA DO PREDITOR CORRETOR//, LIMITE SUPERIOR
D   I+'F15.10/' LIMITE INFERIOR:'F15.10/' INCREMENTO'SX': 'F15.10/
D   2' VALOR DE SOM : 'F15.10/' VALOR DE Y2BOM : 'F15.10/' VALOR
D   3 DE Z(4) : 'F15.10/' VALOR DE FATUR : 'F15.10)
IF(IOUT,40,1)IOUT=IOUT+20
00 500 J=J+1
X(J)=X(J+1) ; Y(J)=Y(J+1) ; Z(J)=Z(J+1)
CONTINUE
A(4)=X(4)+d
IF(GERA)GO TO 410

```

## C PARTE F

## C ROTINAS DE SAIDA DO PROGRAMA (FIM DE EXECUCAO)

```

TYPE 529
FORMAT(//10X*** EXECUCAO COMPLETADA//10X*ROTINA DE SAIDA *>>
1 's)
530 READ(S,230)E(1)
IF(E(1).EQ.'RA')GO TO 10
IF(E(1).EQ.'RP')GO TO 260
IF(E(1).EQ.'EX')GO TO 550
TYPE 549,S(1)
FORMAT(//10X*** 'LAST' ***COMANDO INVALIDO//10X*ATE RENDO, ESCREVA
1 ' /11X"OP" PARA REPETIR MUDANDO APENAS O PARAMETRO ALEATORIU
1 /11X"RA" PARA REPETIR A EXECUCAO DESDE O INICIO//11X"SA" PAR
SA TERMINAR A EXECUCAO//10X* ROTINA DE SAIDA *>> 's)
GO TO 530
IF(LCY.EQ.108)TYPE 560,BOME
FORMAT(//10X*** ARQUIVO DE SAIDA : 'A10//)
CLOSE(UNIT=26)
STOP 'EXECUCAO CONCLUIDA POR MEIOS NORMAIS'
END
SUBROUTINE RGKTIV(X0,Y0,Z0,W0,Y1,Z1,W1,H)
XXXXXXXXXXXXXXXXXXXXXXXXXXXXXXXXXXXXXXXXXXXXXX
REAL*X,X0,Y0,Z0,W0,Y1,Z1,W1,H
K11=G(X0,Y0,Z0,W0)
K12=G2(X0,Y0,Z0,W0)
K13=F(X0,Y0,Z0,W0)
K21=G(X0+H/2.000,Y0+H*K11/2.00,Z0+H*K12/2.00,W0+H*K13/2.00)
K22=G2(X0+H/2.000,Y0+H*K11/2.00,Z0+H*K12/2.00,W0+H*K13/2.00)
K23=F(X0+H/2.000,Y0+H*K11/2.00,Z0+H*K12/2.00,W0+H*K13/2.00)
K31=G(X0+H/2.000,Y0+H*K21/2.00,Z0+H*K22/2.00,W0+H*K23/2.00)
K32=G2(X0+H/2.000,Y0+H*K21/2.00,Z0+H*K22/2.00,W0+H*K23/2.00)
K33=F(X0+H/2.000,Y0+H*K21/2.00,Z0+H*K22/2.00,W0+H*K23/2.00)
K41=G(X0+H/2.000,Y0+H*K31/2.00,Z0+H*K32/2.00,W0+H*K33/2.00)
K42=G2(X0+H/2.000,Y0+H*K31/2.00,Z0+H*K32/2.00,W0+H*K33/2.00)
K43=F(X0+H/2.000,Y0+H*K31/2.00,Z0+H*K32/2.00,W0+H*K33/2.00)

```

```

Y1=1.0+H/6.0)*(K11+2.0D8K21+2.0D9*K31+K41)
Z1=Z0+(H/6.0)*(K12+2.0D9K22+2.0D9*K32+K42)
w1=w0+(H/6.0)*(K13+2.0D9K23+2.0D9*K33+K43)

```

RETURN

END

SUBROUTINE MILRIC(X,Y,Z,w,H)

\*\*\*\*\*

REAL\*8 X(0:4),Y(0:4),Z(0:4),w(0:4),H

INTEGER M

M=3

PARTIE - A

```

Y(n+1)=Y(n-3)+4.0D/3.0D*w*(2.0D*g(x(n-2),Y(n-2),Z(n-2),w(n-2))-
1.0*g(x(n-1),Y(n-1),Z(n-1),w(n-1))+2.0D*g(x(n),Y(n),Z(n),w(n)))

```

```

Z(n+1)=Z(n-3)+4.0D/3.0D*w*(2.0D*g2(x(n-2),Y(n-2),Z(n-2),w(n-2))-
1.0*g2(x(n-1),Y(n-1),Z(n-1),w(n-1))+2.0D*g2(x(n),Y(n),Z(n),w(n)))

```

```

w(n+1)=w(n-3)+4.0D/3.0D*w*(2.0D*f(x(n-2),Y(n-2),Z(n-2),w(n-2))-
1.0*f(x(n-1),Y(n-1),Z(n-1),w(n-1))+2.0D*f(x(n),Y(n),Z(n),w(n)))

```

PARTIE - B

```

Y(n+1)=Y(n-1)+H/3.0D*(G(x(n-1),x(n-1),Z(n-1),w(n-1))+4.0D*g(x(n)-
1,x(n),Z(n),w(n))+G(x(n+1),Y(n+1),Z(n+1),w(n+1)))

```

```

Z(n+1)=Z(n-1)+H/3.0D*(G2(x(n-1),Y(n-1),Z(n-1),w(n-1))+4.0D*g2(x(n)-
1,g2(x(n),Y(n),Z(n),w(n))+G2(x(n+1),Y(n+1),Z(n+1),w(n+1)))

```

```

w(n+1)=w(n-1)+H/3.0D*(F(x(n-1),x(n-1),Z(n-1),w(n-1))+4.0D*f(x(n)-
1,f(x(n),Z(n),w(n))+F(x(n+1),x(n+1),Z(n+1),w(n+1)))

```

RETURN

END

FUNCTION F(X,Y,Z,w)

\*\*\*\*\*

COMMON /CONST/ ACTES(12)

COMMON /CTR/ NEG,CTE

REAL\*8 X,Y,Z,w,CTE

IF(w<0.6D-1)F=-Y\*H+8\*(Z+JTE)-1-CTE

IF(w>0.6D-1)F=4\*ACTES(2)\*Z-ACTES(1)\*w+3\*Y\*ACTES(3)-CTE\*(.2D\*Z)-1

IF(w>0.6D-1)F=6\*ACTES(2)\*Z-ACTES(1)\*w+5\*Y\*ACTES(3)-1-CTE\*  
1(.00666667-Z)-2D.6666667\*(ACTES(5)\*Z\*ACTES(4)\*ACTES(6)+.002D)

IF(w<0.6D-1)F=8\*ACTES(2)\*Z-ACTES(1)\*w+7\*Y\*ACTES(3)-1-CTE\*(.125\*  
1Z)+1D.5\*(10\*ACTES(5)\*ACTES(8)+6\*ACTES(4)\*ACTES(3)-10\*ACTES(7)\*  
2ACTES(6)+1.5)

```
IF (abs(x,y,z) <= 10*XCTES(2)*Z + 2*Y*XCTES(3) + 1*XCTES(0,1 - Z) + 12.*1.6*  
1*(2*x*XCTES(5)*XCTES(11) + 6*XCTES(4)*XCTES(12) + 14*XCTES(10)*  
2*XCTES(6) + .525) + 453.6*(XCTES(6)**2 + XCTES(7)*XCTES(9) + .02777778)
```

```
RETURN
```

```
END
```

```
REAL*8 FUNCTION G(X,Y,Z,W)
```

```
C
```

```
READ* X,Y,Z,W
```

```
G = A
```

```
RETURN
```

```
END
```

```
REAL*8 FUNCTION G2(X,Y,Z,W)
```

```
C
```

```
READ* X,Y,Z,W
```

```
G2 = A
```

```
RETURN
```

```
END
```